

## MÉTODOS COMPUTACIONAIS E APLICAÇÕES

A presente coleção de apostilas corresponde as primeiras 22 aulas do curso de mesmo nome ministrado durante o XIII e o XIV Programa de Verão do Instituto de Matemática e Estatística da Universidade de São Paulo.

Ao escolher os temas quisemos apresentar tópicos que introduzem conceitos importantes da Análise Numérica e que exigissem como pré-requisitos do estudante apenas cursos de Cálculo Diferencial e Integral e de Álgebra Linear. Ao mesmo tempo procuramos limitar a presença de assuntos normalmente abordados num primeiro curso de Cálculo Numérico, como MAP-121, ao mínimo indispensável à continuidade lógica do curso. Assim, o material tratado é acessível e, com exceção das aulas I e V, novo para todo o estudante que tenha concluído o curso básico de ciências exatas na Universidade de São Paulo.

Na sequência normal as aulas com um asterístico poderiam ser omitidas sem quebra de continuidade .

- I - Interpolação de Lagrange,
- \*II - Interpolação de Hermite,
- \*III - Splines,
- IV - Fórmulas de Newton,
- V - Erro para a fórmula do Trapézio,
- VI - Erro para a fórmula de Simpson,
- VII - Extrapolação de Richardson,
- VIII - Integração pelo método de Romberg,
- \*IX - Números de Bernoulli e outras aplicações da fórmula de MacLaurin,
- X - Derivação,
- XI - Método de Euler,
- XII - Equações de Diferenças Finitas,
- XIII - Erro para a fórmula de Euler,
- XIV - Métodos de Runge-Kutta,
- XV - Método de Adams-Bashforth,
- XVI - Erro para o método de Adams-Bashforth,
- XVII - Método de Adams-Moulton,
- XVIII - Sistemas de Equações diferenciais ordinárias,
- XIX - Métodos para solução de problemas de valor de contorno,
- XX - Integrais Multiplas,
- XXI - Equações Elípticas,
- XXII - Equações Parabólicas e Hiperbólicas.

317636

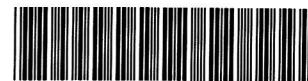
*Prof. Julio Stern*

UNIVERSITADE FEDERACAO DO RIO DE JANEIRO  
INSTITUTO DE MATEMATICA E COMPUTACAO

|               |          |                |       |
|---------------|----------|----------------|-------|
| DATA          | 23.10.85 | 05403          | QA403 |
|               |          | S 839 m        | S839m |
| N.º DE TECIDO | 9745     | mu             | lucia |
| N.º DE TECIDO |          | ESTERLAND POIS |       |

### DEDALUS - Acervo - IME

Metodos computacionais e aplicacoes.



31000030377

- 2 -

As três aulas finais do ano de 84, referentes a geradores de números aleatórios para uso em simulação não puderam, por falta de tempo, ser incluída no curso de 85.

O material apresentado é clássico e o livro de G. Dahlquist e A. Björck "Numerical Methods" (Prentice-Hall, 1974), além de ser ótima referência, lista uma extensa bibliografia.

JULIO MICHAEL STERN

15/02/85

Dada uma função,  $f(x)$ , conhecida em alguns pontos,  $x_i \in \{0, 1, \dots, n\}$ , queremos determinar um polinômio,  $P(x)$ , tal que:

a)  $P(x_i) = f(x_i) = f_i$

b)  $\text{gr}(P) \leq n$

Escrevendo  $P(x)$  como

$P(x) = a_0 + a_1x + a_2x^2 + \dots + a_nx^n$ , a condição a) é expressa por

$$\begin{array}{|c|c|c|c|c|} \hline & 1 & x_0 & x_0^2 & \dots & x_0^n \\ \hline & 1 & x_1 & x_1^2 & \dots & x_1^n \\ \hline & \cdot & \dots & \dots & \dots & \dots \\ \hline & 1 & x_n & x_n^2 & \dots & x_n^n \\ \hline \end{array} \quad \begin{array}{|c|c|c|} \hline a_0 & = & f_0 \\ a_1 & & f_1 \\ \dots & & \dots \\ a_n & & f_n \\ \hline \end{array}$$

### Exemplo 1:

Determine o polinômio que interpola a função nos pontos tabelados.

| i     | 0  | 1 | 2 |
|-------|----|---|---|
| $x_i$ | 0  | 1 | 4 |
| $f_i$ | -1 | 1 | 7 |

resolvendo o sistema,

$$\begin{array}{|c|c|c|c|} \hline & 1 & 0 & 0 \\ \hline & 1 & 1 & 1 \\ \hline & 1 & 4 & 16 \\ \hline \end{array} \quad \begin{array}{|c|c|} \hline a_0 \\ a_1 \\ a_2 \\ \hline \end{array} = \begin{array}{|c|c|} \hline -1 \\ 1 \\ 7 \\ \hline \end{array}$$

encontramos

$$a_0 = -1, a_1 = 2,$$

$$a_2 = 0, \text{ donde }$$

$$P(x) = 2x - 1$$

Prevemos agora a unicidade do polinômio interpolador:

Sejam  $P(x)$  e  $Q(x)$  polinômios que satisfazem as condições a) e b)

Seja  $D(x) = P(x) - Q(x)$

Da condição b) segue que  $\text{gr}(D) \leq n$

Da condição a) segue que  $D(x_i) = 0$

Tem-se assim que  $D$  é um polinômio de grau  $\leq n$  com  $n+1$  raízes, logo

$D(x) = 0$  e  $P(x) = Q(x)$  Q.E.D.

Obter o polinômio interpolador pela solução de um sistema linear bastante inconveniente.

Se tivermos uma família de polinômios  $L_i(x)$ ,  $i \in \{0, 1, \dots, n\}$  onde

c)  $L_i(x_j) = \delta_{ij}$

onde

$$\delta_{ij} = \begin{cases} 0 & \text{se } i \neq j \\ 1 & \text{se } i = j \end{cases}$$

d)  $\text{gr}(L_i) \leq n$

podemos escrever

$$P(x) = \sum_{i=0}^n f_i L_i(x)$$

Notemos que os polinômios

$$L_i(x) = \frac{(x-x_0)(x-x_1)\dots(x-x_{i-1})(x-x_{i+1})\dots(x-x_n)}{(x_i-x_0)(x_i-x_1)\dots(x_i-x_{i-1})(x_i-x_{i+1})\dots(x_i-x_n)}$$

satisfazem as condições c) e d), logo

$$P(x) = \sum_{i=0}^n f_i L_i(x) = \sum_{i=0}^n f_i \prod_{j=0, j \neq i}^n \frac{(x-x_j)}{(x_i-x_j)}$$

Esta forma do polinômio interpolador é a forma de Lagrange

### Exemplo 2:

Determine o polinômio interpolador na forma de Lagrange para a função  $e^x$  nos pontos tabelados.

res:

| i | x   | $e^x$    |
|---|-----|----------|
| 0 | 0   | 1        |
| 1 | 0,5 | 1,648721 |
| 2 | 2,0 | 2,718282 |

$$P(x) = 1 \frac{(x-0,5)(x-1)}{(0-0,5)(x-1)} + 1,64 \cdot \frac{(x-0)(x-1)}{(0,5-0)(0,5-1)} + 2,71 \cdot \frac{x(x-0,5)}{1(1-0,5)}$$

Consideremos agora o erro que cometemos ao aproximar a função  $f(x)$  por  $P(x)$  em um ponto qualquer  $z$ .

Seja a função erro  $E(z) = f(z) - P(z)$ , e  $I$  um intervalo

$$I = \{z, x_0, x_1, \dots, x_n\}$$

Suporemos que  $f$  é de classe  $C^{n+1}$  em  $I$ . Suponhamos que

Sejam  $F(x)$  e  $g(x)$  funções definidas em  $I$  por

$F(x) = \prod_{i=0}^n (x-x_i)$

$g(x) = E(x) - \alpha F(x)$ , se  $\alpha \in \mathbb{R}$  e  $g(z) = 0$

então  $E(z) = \alpha F(z)$ , ou seja, o erro é a restante

entre  $E(z)$  e  $\alpha F(z)$ , i.e.: tomamos  $\alpha$  tal que  $g(x)$  calculado no ponto  $z$  se anule

e  $z = x_i$ , para algum  $i$ ,  $E(z) = 0$

Assim a função  $g(x)$  tem  $n+2$  raízes em  $I$ , a saber,  $\{z, x_0, x_1, \dots, x_n\}$

Entre cada duas raízes de  $g$  existe, pelo teorema de Rolle, ao menos uma raiz de  $g'$ . Conclui-se portanto que  $g'$  tem ao menor  $n+1$  raízes em  $I$ , que  $g''$  tem ao menor  $n$  raízes em  $I, \dots$ , e que  $g^{(n+1)}$  tem ao menos uma raiz,  $\xi$ , em  $I$ .

Assim  $\xi \in I$

$$g^{(n+1)}(\xi) = f^{(n+1)}(\xi) - P^{(n+1)}(\xi) - \alpha F^{(n+1)}(\xi) = 0$$

Notando que  $P$  e  $F$  são polinômios de grau  $n$  e  $n+1$ , respectivamente, tem-se que  $P^{(n+1)}(x) = 0$  e  $F^{(n+1)} = (n+1)!$

Substituindo

$$g^{(n+1)}(\xi) = f^{(n+1)}(\xi) - 0 - \alpha(n+1)! = 0, \text{ donde } \alpha = f^{(n+1)}(\xi) / (n+1)!,$$

$$E(z) = f(z) - P(z) = f^{(n+1)}(\xi) F(z) / (n+1)!$$

Como é em geral impossível determinar  $\xi$ , que é função de  $z$ , utilizamos com maior proveito a desigualdade

$$E(z) \leq \max_{\xi \in I} \left| f^{(n+1)}(\xi) \right| \frac{|F(z)|}{(n+1)!}$$

que nos fornece um limite superior para o erro cometido.

Exemplo 3:

A partir do exemplo 2 encontre um valor aproximado de  $e^{0,25}$  e um limite para o erro cometido

res:

$$\text{Tomemos } e^{0,25} \approx P(0,25) =$$

$$= 1 \frac{(-0,25)(-0,75)}{(-0,5)(-1)} + 1,648721 \frac{(0,25)(-0,75)}{(0,5)(-0,5)} + 2,718282 \frac{(0,25)(-0,25)}{(1)(0,5)}$$

$= 1,271756$ , Para o cálculo da incerteza notemos que  $f^{IV}(x) = e^x$ , logo

$$E(0,25) \leq \max_{\xi \in [0,1]} \left| e^\xi \right| \frac{|(0,25-0)(0,25-0,5)(0,25-1)|}{3!}$$

$$= \frac{e^{0,25} \times 0,25 \times 0,75}{6} \approx 0,0212$$

Realmente  $E(z) = e^{0,25} - P(0,25) = 1,2840254 - 1,271756 = 0,0123 \leq 0,0212$

## II - INTERPOLAÇÃO DE HERMITE

Dada uma função,  $f(x)$ , da qual conhecemos os valores e os valores da derivada,  $f'(x)$ , num conjunto de pontos,  $x_i$ ,  $i \in \{0, 1, \dots, n\}$ . O polinômio de Hermite é o polinômio  $H(x)$  tal que

a)  $\text{gr}(H) \leq 2n+1$

b)  $H(x_i) = f(x_i) = f_i$   $i \in \{0, 1, \dots, n\}$

c)  $H'(x_i) = f'(x_i) = f'_i$

Se tivermos as famílias de polinômios  $U_i$  e  $V_i$ , tais que

d)  $\text{gr}(U_i) \leq 2n+1$  e)  $\text{gr}(V_i) \leq 2n+1$

f)  $U_i(x_j) = \delta^{ij}$

g)  $U_i^{(k)}(x_j) = 0$

h)  $V_i(x_j) = 0$

k)  $V_i^{(k)}(x_j) = \delta_j^i$

Podemos escrever  $H(x)$  como

$$H(x) = \sum_{i=0}^n [f_i U_i(x) + f'_i V_i(x)]$$

Provemos que

$$V_i(x) \equiv (x-x_i) L_i^2(x), \quad \text{e}$$

$$U_i(x) \equiv [1-2L_i'(x_i)(x-x_i)] L_i^2(x)$$

obedecem as relações d) e) f) g) h) e k)

As condições d) e e) são satisfeitos por sabermos que  $\text{gr}(L_i) \leq n$

Para as demais notemos que

$$V_i = (x-x_i) L_i^2(x) \Rightarrow$$

$$V_i' = L_i^2(x) + 2L_i(x)(x-x_i) L_i'(x) \quad \text{e}$$

$$V_i(x_e) = (x_e-x_i) L_i^2(x_e) = (x_e-x_i) \delta_i^e = 0$$

$$\begin{aligned} V_i'(x_e) &= \delta_e^i + 2\delta_e^i (x_e-x_i) L_i'(x_e) = \delta_e^i \\ &= 0 \end{aligned}$$

vemos também que

$$U_i(x) = [1-2L_i'(x_i)(x-x_i)] L_i^2(x) \Rightarrow$$

$$\begin{aligned} U_i'(x) &= -2L_i'(x_i) L_i^2(x) + [(1-2L_i'(x_i)(x-x_i))] 2L_i(x)x \\ &\quad x L_i'(x) \end{aligned}$$

$$U_i(x_e) = [1-2L_i'(x_i)(x_e-x_i)] \delta_e^i = \delta_e^i$$

$$\begin{aligned}
 U_i'(x_e) &= -2L_i'(x_i)\delta_e^i + 2L_i'(x_e)L_i(x_e) + \\
 &+ 4L_i'(x_i)(x-x_i)L_i(x_e)L_i'(x_e) = -2L_i'(x_i)\delta_e^i + 2L_i'(x_e)\delta_e^i + \\
 &+ 4L_i'(x_i)L_i'(x_e)(x_e-x_i)\delta_e^i = 0 \\
 &= 0
 \end{aligned}$$

Q.E.D.

À semelhança de como procedemos no caso da interpolação de Lagrange analisemos o erro cometido na aproximação

$$f(x) \approx H(x), E(z) \approx f(z) - H(z)$$

Seja  $g(x)$  definida em  $I \subset \{z, x_0, x_1, \dots, x_n\}$

$$g(x) = f(x) - H(x) - [f(z) - H(z)] \prod_{i=0}^n \left( \frac{x-x_i}{z-x_i} \right)^2$$

para algum  $z \neq x_i$ ,  $\forall i \in \{0, 1, \dots, n\}$

Vê-se que

$$\begin{aligned}
 g(x_k) &= f(x_k) - H(x_k) - [f(z) - H(z)] \prod_{i=0}^n \left( \frac{x_k-x_i}{z-x_i} \right)^2 \\
 &= 0
 \end{aligned}$$

e

$$\begin{aligned}
 g(z) &= (f(z) - H(z)) \left( -1 - \prod_{i=0}^n 1 \right) = 0 \\
 &= 0
 \end{aligned}$$

Tenho  $g$  raízes em  $z, x_0, x_1, \dots, x_n$ , o teorema de R. Ille garante a existência de  $n+1$  raízes de  $g'(x)$  em  $I$ , distintas de  $z, x_0, x_1, \dots, x_n$

Vê-se ainda que

$$g'(x) = f'(x) - H'(x) - [f(z) - H(z)] \times 2 \prod_{i=0}^n \frac{(x-x_i)}{(z-x_i)^2} \times \sum_{j=0}^n \prod_{\substack{e=0 \\ e \neq j}}^n \frac{(x_k-x_e)}{(x_k-x_j)}$$

assim

$$\begin{aligned}
 g'(x_k) &= f'(x_k) - H'(x_k) - [f(z) - H(z)] \times 2 \prod_{i=0}^n \frac{(x_k-x_i)}{(z-x_i)^2} \times \sum_{j=0}^n \prod_{\substack{e=0 \\ e \neq j}}^n (x_k-x_e) = 0
 \end{aligned}$$

Tem-se assim  $2n+2$  raízes de  $g'$  em  $I$ . Por aplicação sucessiva do Teorema de Rolle podemos afirmar que

$$\exists \xi \in I \mid g^{(2n+2)}(\xi) = 0, \text{ mas}$$

$$g^{(2n+2)}(\xi) = f^{(2n+2)}(\xi) - H^{(2n+2)}(\xi) - [f(z) - H(z)] \frac{(2n+2)!}{\prod_{i=0}^n (z-x_i)^2}$$

onde

$$E(z) = f(z) - H(z) = f^{(2n+2)}(\xi) \prod_{i=0}^n (x-x_i)^2 / (2n+2)!$$

novamente nos será mais útil a desigualdade

$$E(z) \leq \max_{\xi \in I} f^{(2n+2)}(\xi) \frac{\pi(z-x_1)^2}{(2n+2)!}$$

### Exemplo 1:

Encontre o polinômio de Hermite que interpola a função  $f(x) = \sin(x)$  nos pontos tabelados.

Se uma aproximação para  $f(\frac{\pi}{2})$

| i | $x_i$ | $f(x)$ | $f'(x)$ |
|---|-------|--------|---------|
| 0 | 0     | 0      | 1       |
| 1 | $\pi$ | 0      | -1      |

$$L_0(x) = \frac{x-\pi}{0-\pi} = \frac{-x}{\pi} + 1, L_0'(x) = \frac{-1}{\pi}$$

$$L_0''(x) = \frac{x^2}{\pi^2} - \frac{2x}{\pi} + 1$$

$$L_1(x) = \frac{x-0}{\pi-0} = \frac{x}{\pi}, L_1'(x) = \frac{1}{\pi}$$

$$L_1''(x) = x^2/\pi^2$$

$$V_0 = (x-0) \left( \frac{x^2}{\pi^2} - \frac{2x}{\pi} + 1 \right) = \frac{x^3}{\pi^2} - \frac{2x^2}{\pi} + x$$

$$V_1 = (x-\pi) \frac{x^2}{\pi^2} = \frac{x^3}{\pi^2} - \frac{x^2}{\pi}$$

$$V_0 = (1-2(-\frac{1}{\pi})(x-0)) \left( \frac{x^2}{\pi^2} - \frac{2x}{\pi} + 1 \right) = \frac{x^3}{\pi^3} + \frac{-3x^2}{\pi^2} + 1$$

$$H(x) = 0U_0(x) + 1V_0 + 0U_1(x) + (-1)V_1(x) = \frac{-x^2}{\pi} + x \Rightarrow H'(x) = -\frac{2x}{\pi} + 1$$

$$H(0) = 0 \quad H(\pi) = 0 \quad H'(0) = 1 \quad H'(\pi) = -1$$

$$H\left(\frac{\pi}{2}\right) = \frac{\pi}{4} \approx 0,7854 \quad \sin\left(\frac{\pi}{2}\right) = 1$$

$$E\left(\frac{\pi}{2}\right) = 0,215 \leq 1 \frac{(x-0)^2(x-\pi)^2}{(2-1+2)!} = \frac{\pi^4}{16 \cdot 24} = 0,25$$

III - SPLINES

O objetivo desta técnica é interpolar uma função,  $f(x)$ , tabelada em um número arbitrariamente grande de pontos,  $\{x_0, x_1, \dots, x_n\} \subset I$ , por uma função,  $P(x)$ , que é localmente, em cada intervalo  $[x_i, x_{i+1}]$  um polinômio  $P_i(x)$  de grau  $k$ .

ie: se  $x \in [x_i, x_{i+1}]$

$$P(x) \equiv P_i(x) = a_{i,0} + a_{i,1}x + \dots + a_{i,k}x^k$$

As condições mais frequentemente impostas sobre  $P(x)$  são a de  $P(x)$  ser de classe  $C^2$  em  $I$

ie:

$$a) f(x_i) = P(x_i) \equiv P_i(x_i) = P_{i-1}(x_i)$$

$$b) P_i'(x_i) = P_{i-1}'(x_i)$$

$$c) P_i''(x_i) = P_{i-1}''(x_i)$$

Nestas condições é suficiente tomar  $k=3$ , o que implica que  $P''(x)$  seja uma função linear em cada intervalo  $[x_i, x_{i+1}]$ , ou

$$P_i''(x) = P''(x_i) \frac{x_{i+1}-x}{x_{i+1}-x_i} + P''(x_{i+1}) \frac{x-x_i}{x_{i+1}-x_i}$$

definindo  $\Delta_i = x_{i+1}-x_i$  e integrando vem:

$$P_i'(x) = P''(x_i) \frac{(x_{i+1}-x)^2}{-2\Delta_i} + P''(x_{i+1}) \frac{(x-x_i)^2}{2\Delta_i} + A$$

oper nova integração resulta

$$P_i(x) = P''(x_i) \frac{(x_{i+1}-x)^3}{6\Delta_i} + P''(x_{i+1}) \frac{(x-x_i)^3}{6\Delta_i} + Ax + B$$

usando a condição a) em  $x_i$  e  $x_{i+1}$  vem que

$$P_i(x) = \frac{P''(x_{i+1})}{6\Delta_i} (x-x_i)^3 + \left[ \frac{f_{i+1}}{\Delta_i} - \frac{\Delta_i}{6} P''(x_{i+1}) \right] (x-x_i)$$

$$+ \frac{P''(x_i)}{6\Delta_i} (x_{i+1}-x)^3 + \left[ \frac{f_i}{\Delta_i} - \frac{\Delta_i}{6} P''(x_i) \right] (x_{i+1}-x)$$

portanto

$$P_i'(x) = \frac{P''(x_{i+1})}{2\Delta_i} (x-x_i)^2 + \left[ \frac{f_{i+1}}{\Delta_i} - \frac{\Delta_i}{6} P''(x_{i+1}) \right] (1) +$$

$$- \frac{P''(x_i)}{2\Delta_i} (x_{i+1}-x)^2 + \left[ \frac{f_i}{\Delta_i} - \frac{\Delta_i}{6} P''(x_i) \right] (-1), \text{ assim}$$

$$P_i''(x_i) = \frac{f_{i+1} - f_i}{\Delta_i} + \frac{P''(x_i) - P''(x_{i+1})}{6/\Delta_i} - \frac{P''(x_i)\Delta_i}{2}$$

analogamente

$$P_{i-1}''(x) = \frac{P''(x_i)}{2\Delta_{i-1}} (x - x_{i-1})^2 + \left[ \frac{f_i}{\Delta_{i-1}} - \frac{\Delta_{i-1}}{6} P''(x_i) + \frac{P''(x_{i-1})}{2\Delta_{i-1}} (x_i - x)^2 + \right. \\ \left. + \left[ \frac{f_{i-1}}{\Delta_{i-1}} - \frac{\Delta_{i-1}}{6} P''(x_{i-1}) \right] \right]$$

onde

$$P_{i-1}''(x_i) = \frac{P''(x_i)}{2} + \frac{f_i - f_{i-1}}{\Delta_{i-1}} + \frac{P''(x_{i-1}) - P''(x_i)}{6/\Delta_{i-1}}$$

usando a condição b) temos que

$$\frac{\Delta_{i-1}}{6} P''(x_{i-1}) + \frac{(\Delta_{i-1} + \Delta_i)}{3} P''(x_i) + \frac{\Delta_{i+1}}{6} P''(x_{i+1}) \\ = \frac{f_{i+1} - f_i}{\Delta_i} + \frac{f_i - f_{i-1}}{\Delta_{i-1}}$$

se em particular,  $\Delta_{i-1} = \Delta_i = \Delta$

$$P''(x_{i-1}) + 4P''(x_i) + P''(x_{i+1}) = \frac{6}{\Delta^2} (f_{i+1} - 2f_i + f_{i-1})$$

escrevendo estas equações para  $i \in \{1, \dots, n-1\}$  temos  $n-2$  equações lineares. Para os pontos extremos devemos impor condições de contorno apropriadas, sendo as mais frequentes:

$$1) P''(x_0) = \lambda P''(x_1), P''(x_n) = \lambda P''(x_{n-1}), \lambda \in [0, 1]$$

$$2) P''(x_0) = P''(x_{n-1}), P''(x_1) = P''(x_n)$$

As condições 1 e 2 representam, em teoria das vigas, uma viga engastada e um anel.

Exemplo:

Determine-se os coeficientes de  $P_i(x)$  para 4 pontos com as condições de contorno 1 res:

temos que

$$P''(x_0) = \lambda P''(x_1), P''(x_3) = \lambda P''(x_2)$$

$$(4+\lambda)P''(x_1) + P''(x_2) = \frac{6}{\Delta} (f_0 - 2f_1 + f_2)$$

$$(4+\lambda)P''(x_2) + P''(x_1) = \frac{6}{\Delta} (f_1 - 2f_2 + f_3)$$

onde  $P''(x_1) = \frac{\frac{(4+\lambda)\Delta}{\Delta^2} (f_0 - 2f_1 + f_2) - \frac{6}{\Delta^2} (f_1 - 2f_2 + f_3)}{(4+\lambda)^2 - 1}$

$P''(x_2) = \frac{\frac{(4+\lambda)\Delta}{\Delta^2} (f_1 - 2f_2 + f_3) - \frac{6}{\Delta^2} (f_0 - 2f_1 + f_2)}{(4+\lambda)^2 - 1}$

fazendo-se  $P''(x_1) = \alpha$  e  $P''(x_2) = \beta$

tem-se também  $P''(x_0) = \lambda \alpha$  e  $P''(x_3) = \lambda \beta$

onde

$$P_0(x) = \frac{2}{6\Delta} (x-x_0)^3 + \left[ \frac{f(x_1)}{\Delta} - \frac{\Delta}{6} \alpha \right] (x-x_0) + \\ + \frac{2}{6\Delta} (x_1-x)^3 + \left[ \frac{f(x_0)}{\Delta} - \frac{\Delta}{6} \lambda \alpha \right] (x_1-x)$$

$$P_1(x) = \frac{\beta}{6\Delta} (x-x_1)^3 + \left[ \frac{f(x_2)}{\Delta} - \frac{\Delta}{6} \beta \right] (x-x_1) + \\ + \frac{2}{6\Delta} (x_2-x)^3 + \left[ \frac{f(x_1)}{\Delta} - \frac{\Delta}{6} \alpha \right] (x_2-x)$$

$$P_2(x) = \frac{\lambda \beta}{6\Delta} (x-x_2)^3 + \left[ \frac{f(x_3)}{\Delta} - \frac{\Delta}{6} \lambda \beta \right] (x-x_2) + \\ + \frac{\beta}{6\Delta} (x_3-x)^3 + \left[ \frac{f(x_2)}{\Delta} - \frac{\Delta}{6} \beta \right] (x_3-x)$$

de usarmos como exemplo a tabela

| i | $x_i$    | $\sin x_i$ |
|---|----------|------------|
| 0 | 0        | 0          |
| 1 | $\pi/3$  | 0,866      |
| 2 | $2\pi/3$ | 0,866      |
| 3 | $\pi$    | 0          |

Obtemos

$$P_1(x) = \frac{\beta}{6\pi/3} (x-\pi/3)^3 + \\ + \left[ \frac{0,866}{\pi/3} - \frac{\pi/3}{6} \beta \right] (x - \frac{\pi}{3}) +$$

$$+ \frac{2}{6\pi/3} \left( \frac{2\pi}{3} - x \right)^3 + \left[ \frac{0,866}{\pi/3} - \frac{\pi/3}{6} \alpha \right] (-x + \frac{2\pi}{3})$$

Para  $x = \pi/2$

temos, em função  
de  $\lambda$  escolhido

| $\lambda$ | $\alpha$ | $\beta$ | $P(x)$ |
|-----------|----------|---------|--------|
| 0         | 0        | 0       |        |
| 1         |          |         |        |

## IV - Integração, Fórmulas de Newton

É um problema frequente o cálculo aproximado de uma integral definida

$$I = \int_a^b f(x) dx$$

Um procedimento padrão é estimar  $I$  integrando uma função aproximadora, facilmente integrável, i.e.:

$$I \approx \int_a^b P(x) dx, \quad P(x) \approx f(x)$$

Estudemos, em detalhe, o caso em que  $P(x)$  é o polinômio interpolador de Lagrange para  $f(x)$  nos pontos  $\{x_0, x_1, \dots, x_n\}$ . Da aula I sabemos que

$$f(x) \approx P(x) = \sum_{i=0}^n f(x_i) L_i(x) = \sum_{i=0}^n f_i \prod_{j=0, j \neq i}^n \frac{(x-x_j)}{(x_i-x_j)}$$

então

$$\begin{aligned} I &\approx \int_a^b \sum_{i=0}^n f_i L_i(x) dx = \sum_{i=0}^n f_i \int_a^b L_i(x) dx = \\ &= \sum_{i=0}^n f_i K_i, \quad \text{onde } K_i = \int_a^b L_i(x) dx \end{aligned}$$

exemplo 1

Obter uma aproximação de  $\int_0^1 e^x dx$ , utilizando os valores de

$e^x$  em  $x_0 = 0$  e  $x_1 = 1$  tabelados no exemplo I-2

res:

$$P(x) = \sum_{i=0}^1 f(x_i) L_i(x) = f_0 \frac{x-x_1}{x_0-x_1} + f_1 \frac{x-x_0}{x_1-x_0}, \quad \text{e}$$

$$I = \int_a^b P(x) dx = \sum_{i=0}^1 f_i K_i, \quad \text{onde}$$

$$K_0 = \int_a^b L_0(x) dx = \int_{x_0}^{x_1} \frac{x-x_0}{x_1-x_0} dx = \frac{x_1-x_0}{2},$$

Lembrai que se obtem o resultado da integral.

$$K_1 = \int_a^b L_1(x) dx = \int_{x_0}^{x_1} \frac{x-x_0}{x_1-x_0} dx = \frac{x_1-x_0}{2}, \quad \text{onde}$$

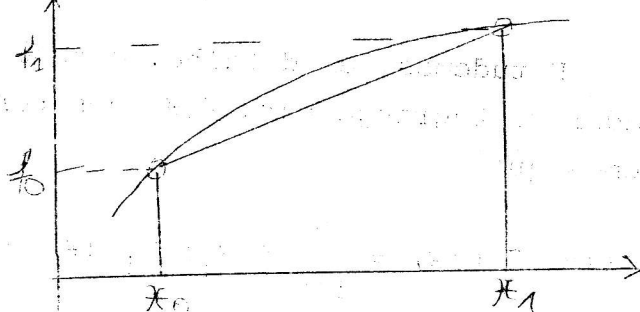
$$I \approx f_0 K_0 + f_1 K_1 = (x_1-x_0)(f_0+f_1)/2 = (1-0)(2,718282-1)/2 = 0,859141$$

a equação

$$\int_{x_0}^{x_1} f(x) dx \approx (x_1-x_0)(f(x_0) + f(x_1))/2$$

tem uma interpretação geométrica simples e é conhecida como

"Regra do trapézio"



Na prática é útil termos o estudo do caso de pontos igualmente espaçados se  $x_i - x_{i-1} = \Delta_i = \Delta$ ,  $\forall i \in \{1, \dots, n\}$  neste caso, através da transformação de variáveis  $y = (x-x_0)/\Delta$ , que leva  $x_i \rightarrow y_i = i$ , temos

$$I = \int_a^b f(x) dx = \int_{(a-x_0)/\Delta}^{(b-x_0)/\Delta} f(\Delta y + x_0) dy = \int_A^B f(\Delta y + x_0) dy$$

$$= \Delta \sum_{i=0}^n f(\Delta y + x_0) L_i(y) dy = \Delta \sum_{i=0}^n f(\Delta y + x_0) c_i$$

$(\Delta y + x_0)$

onde

$$c_i = \int_A^B L_i(y) dy = \int_A^B \sum_{j=0}^n \frac{y-j}{i-j} \frac{(-1)^{n-i}}{i!(n-i)!} dy = \int_A^B \sum_{j=0, j \neq i}^n \frac{(y-j)}{i-j} dy$$

se, em particular, tivermos  $a = x_0$  e  $b = x_n$

então

$$c_i = \frac{(-1)^{n-i}}{i!(n-i)!} \int_0^n (y-j) dy = n c_i^n,$$

onde

$$\begin{aligned} I &\equiv \Delta \sum_{i=0}^n f(x_i) c_i = \Delta \sum_{i=0}^n n c_i^n f(x_i) = \\ &= \Delta n \sum_{i=0}^n c_i^n f(x_i) = (x_n - x_0) \sum_{i=0}^n c_i^n f(x_i) \end{aligned}$$

Estas são as fórmulas de Newton

exemplo 2

Obtenha  $c_0^2$  e calcule  $\int_0^1 e^y$  usando todos os pontos tabelados no ex-I-2

res:

$$2 c_0^2 = \frac{(-1)^{2-i}}{i!(2-i)!} \int_0^2 (y-j) dy \text{ assim}$$

$$c_0^2 = \frac{1}{2} \frac{(-1)^{2-0}}{0!(2-0)!} \int_0^2 (y-1)(y-2) dy = \frac{1}{4} \int_0^2 (y^2 - 3y + 2) dy =$$

$$= \frac{1}{4} \left[ \frac{y^3}{3} - \frac{3y^2}{2} + 2y \right]_0^2 = \frac{1}{4} \left( \frac{8}{3} - \frac{12}{2} - 4 \right) = 1/6$$

$$c_1^2 = \frac{1}{2} \frac{(-1)^{2-1}}{1!(2-1)!} \int_0^2 (y-0)(y-2) dy = -\frac{1}{2} \left[ \frac{y^3}{3} - y^2 \right]_0^2 = 4/6$$

$$c_2^2 = \frac{1}{2} \frac{(-1)^0}{2!0!} \int_0^2 (y-0)(y-1) dy = \frac{1}{4} \left[ \frac{y^3}{3} - \frac{y^2}{3} \right]_0^2 = 1/6$$

onde

$$\begin{aligned} I &\equiv \Delta n \sum_{i=0}^n c_i^2 f(x_i) = \Delta 2 \left( \frac{1}{6} f(x_0) + \frac{4}{6} f(x_1) + \right. \\ &\quad \left. + \frac{1}{6} f(x_2) \right) = \Delta (f(x_0) + 4 f(x_1) + f(x_2))/3 = \end{aligned}$$

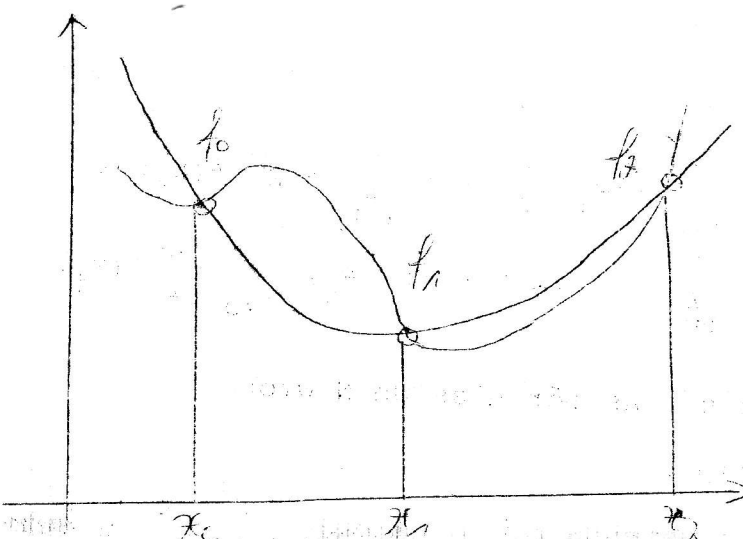
$$0,5 (1+4 \cdot 1,648721 + 2,7118282) = 1,718861$$

A fórmula

$$I \approx \frac{\Delta}{3} (f_0 + 4f_1 + f_2)$$

é conhecida como

"Regra de Simpson" ou  
"da Parábola"



Integrando a função  $f(x) = 1$ . Concluimos que  $\sum_{i=0}^n c_i^n = 1$

Invertendo o intervalo de integração.

Concluimos que  $c_i^n = c_{n-i}^n$

| $n$ | $\alpha$ | $c_i^n \times \alpha$ | $i=0$ | $i=1$ | $i=2$ | $i=3$ | --- |
|-----|----------|-----------------------|-------|-------|-------|-------|-----|
| 1   | 2        |                       | 1     | 1     |       |       |     |
| 2   | 6        |                       | 1     | 4     | 1     |       |     |
| 3   | 8        |                       | 1     | 3     | 3     | 1     |     |
| 4   | 90       |                       | 7     | 32    | 12    | 32    | --- |
| 5   | 288      |                       | 19    | 75    | 50    | 50    | --- |
| 6   | 840      |                       | 41    | 216   | 27    | 272   | --- |

na tabela ao lado temos todos os coeficientes de Newton, até  $n=6$ .

Note que basta ter

$$c_i^n, i \in \{0, 1, \dots, [n/2]\}$$

exemplo 3

Calcule, usando as fórmulas de Newton, para  $n=3$ ,  $I = \int_0^2 x^3 dx$

$$I \approx \frac{\Delta n}{\alpha} \sum_{i=0}^n \alpha c_i^3 f(x_i) =$$

$$= \frac{0,5 \times 3}{8} (1 \times (0,5)^3 + 3(1)^3 + 3(1,5)^3 + 1(2)^3) = 3,984375.$$

## V - Integração, Erro para a fórmula do Trapézio

Vamos agora determinar o erro cometido numa integração numérica pelo uso da regra do trapézio.

Seja  $f \in C^2$  em  $I = [x_0, x_1]$ ,  $\Delta = x_1 - x_0$ ,

$$\text{e } E(\Delta) = \int_{x_0}^{x_1} f(x) dx - \frac{\Delta}{2} (f(x_0) + f(x_1))$$

ou equivalente

$$E(\Delta) = \int_{x_0}^{x_0 + \Delta} f(x) dx - \frac{\Delta}{2} (f(x_0) + f(x_0 + \Delta))$$

Derivando sucessivamente a última equação temos:

$$E'(\Delta) = f(x_0 + \Delta) - \frac{1}{2} (f(x_0) + f(x_0 + \Delta)) +$$

$$- \frac{\Delta}{2} f'(x_0 + \Delta) = \frac{1}{2} (f(x_0 + \Delta) - f(x_0)) - \frac{\Delta}{2} f'(x_0 + \Delta)$$

e

$$E''(\Delta) = \frac{1}{2} f'(x_0 + \Delta) - \frac{1}{2} f'(x_0 + \Delta) - \frac{\Delta}{2} f''(x_0 + \Delta) = - \frac{\Delta}{2} f''(x_0 + \Delta)$$

Integrando a última identidade obtemos:

$$E'(\Delta) = E'(0) + \int_0^\Delta E''(h) dh = \int_0^\Delta - \frac{h^2}{2} f''(x_0 + h) dh \stackrel{*}{=}$$

\* "Teorema do valor médio do cálculo integral" (TVMI).

Seja  $f \in C^1$  em  $[a, b]$  e  $g$  integrável e de sinal constante em  $[a, b]$ .

Afirmase que  $\xi \in [a, b]$  |

$$\int_a^b f(x) g(x) dx = f(\xi) \int_a^b g(x) dx$$

Prova: Seja  $m = \min_{\alpha \in [a, b]} f(\alpha)$  e  $M = \max_{\alpha \in [a, b]} f(\alpha)$

se  $g \geq 0$  temos que

$$m \int_a^b g(x) dx \leq \int_a^b f(x) g(x) dx \leq M \int_a^b g(x) dx$$

$$\Rightarrow \int_a^b f(x) g(x) dx = \beta \int_a^b g(x) dx, \quad m \leq \beta \leq M$$

pelo teorema do valor intermediário

$\xi \in [a, b] | f(\xi) = \beta,$   
 $\forall \beta | m \leq \beta \leq M$

O que termina a prova

Podemos obter o resultado da seguinte forma:

$$E'(\Delta) = -\frac{1}{2} f''(\xi) \int_0^\Delta h dh = -\frac{\Delta^2}{4} f''(\xi)$$

para algum  $\xi \in [x_0, x_1]$

Após nova integração temos

$$E(\Delta) = E(0) + \int_0^\Delta E'(h) dh = \int_0^\Delta -\frac{h^2}{4} f''(\xi(h)) dh$$

novamente pelo argumento do TVMI

$$\lambda \in I \mid E(\Delta) = -\frac{1}{4} f''(\xi(\lambda)) \int_0^\Delta h^2 dh = -\frac{\Delta^3}{12} f''(\mu), \text{ para algum } \mu \in [x_0, x_1]$$

Sendo, em geral, difícil determinar  $\mu$  será mais útil a fórmula

$$E(\Delta) \leq \frac{\Delta^3}{12} \max_{\mu \in I} |f''(\mu)|$$

exemplo 1

Mostre que o resultado obtido no ex IV-1 está dentro da precisão esperada

res:

$$\text{neste caso } E(1) \leq \frac{1}{12} \max_{\mu \in [0,1]} |e^\mu| = e/12 \approx 0,23$$

$$\text{Realmente } \int_0^1 e^x dx = 1,859141 \approx -0,14 \leq 0,23$$

Como  $f''(x) = e^x > 0$

$x \in I$ , temos

$(\Delta) < 0$ , como ilustra a figura



Portanto  $E(\Delta) < 0$

Portanto  $E(1) < 0$

Portanto  $E(1) < 0$

Portanto  $E(1) < 0$

Uma maneira prática de reduzir o erro do cálculo de uma integral com a regra do trapézio é sub-dividir o intervalo em  $n$ -sub-intervalos.

Aplicando a cada sub-intervalo  $[x_i, x_{i+1}]$  a regra do trapézio temos,

$$I = \int_{x_0}^{x_n} f(x) dx \approx \frac{1}{2} (x_1 - x_0) (f(x_0) + f(x_1)) + \dots + \frac{1}{2} (x_n - x_{n-1}) (f(x_{n-1}) + f(x_n)) = \sum_{i=1}^n \Delta_i \frac{1}{2} (f(x_i) - f(x_{i-1}))$$

Se tivermos  $\Delta_i = \Delta$ ,  $\forall i \in \{1, \dots, n\}$

$$I \approx \frac{\Delta}{2} (f(x_0) + 2 \sum_{i=1}^{n-1} f(x_i) + f(x_n))$$

exemplo 2

Cálculo  $I = \int_0^1 e^x dx$  usando todos os pontos tabelados no

ex-I-2

res:

$$I \approx \frac{\Delta}{2} (f(x_0) + 2f(x_1) + f(x_2)) = \frac{0,5}{2} (1 + 2 \times 1,648721 + 2,718282) = 1,753931$$

Estudemos em detalhe o erro cometido com a aproximação da integral pelo processo de sub-divisão do intervalo e posterior aplicação da regra do trapézio, no caso de pontos igualmente espaçados,

$$x_i - x_{i-1} = \Delta$$

$$\text{Seja } E_i = \int_{x_i}^{x_{i+1}} f(x) dx - \frac{1}{2} \Delta (f(x_1) + f(x_{i+1}))$$

$$\text{e } E_+ = \int_{x_0}^{x_n} f(x) dx - \frac{\Delta}{2} (f(x_0) + 2 \sum_{i=1}^{n-1} f(x_i) + f(x_n))$$

temos que  $E_+ = \sum_{i=0}^{n-1} E_i \leq \sum_i |E_i| \leq$

$$\leq \sum_i \frac{\Delta^3}{12} \max_{\mu_i \in [x_i, x_{i+1}]} |f''(\mu)| \leq \sum_i \frac{\Delta^3}{12} \max_{\mu \in I} |f''(\mu)| =$$

$$= \frac{n\Delta^3}{12} \max_I |f''(\mu)| = \frac{(x_n - x_0)^3}{12 n^2} \max_{\mu \in I} |f''(\mu)|$$

exemplo 3

Compare o erro cometido no ex.2 com o máximo esperado

$$E_+ = \int_0^1 e^x dx - 1,753931 \approx -0,036,$$

que esta dentro do limite

$$|E_+| \leq \frac{(1-0)^3}{12 \times 2^2} \max_{\mu \in [0,1]} |e^\mu| = \frac{e}{48} \approx 0,057$$

exemplo 4

Calcule em quantos sub-intervalos deveremos dividir  $[0,1]$  para calcular  $\int_0^1 e^x dx$  com uma precisão de  $10^{-2}$ .

## VI - INTEGRAÇÃO, ERRO NA REGRA DE SIMPSON.

Determinaremos agora o erro cometido ao aproximar uma integral pela regra de Simpson.

Analogamente ao que foi feito para a regra do trapézio, seja  $[a,b] = I$ ,  $f$ ,  $C^4$  em  $I$ ,  $x_0 = a$ ,  $x_2 = b$ ,  $x_1 = (a+b)/2$ .

O erro cometido é

$$\begin{aligned} E(\Delta) &= \int_{x_0}^{x_2} f(x) dt - \frac{\Delta}{3} (f(x_0) + 4f(x_1) + f(x_2)) = \\ &= \int_{x_1-\Delta}^{x_1+\Delta} f(x) dx - \frac{\Delta}{3} (f(x_1-\Delta) + 4f(x_1) + f(x_1+\Delta)) \end{aligned}$$

Derivando sucessivamente  $E(\Delta)$  temos

$$\begin{aligned} E'(\Delta) &= [f(x_1-\Delta) + f(x_1+\Delta)] - \frac{1}{3} [f(x_1-\Delta) + 4f(x_1) + f(x_1+\Delta)] - \\ &\quad - \frac{\Delta}{3} [-f'(x_1-\Delta) + f'(x_1+\Delta)] = \\ &\quad \frac{2}{3} [f(x_1-\Delta) + f(x_1+\Delta)] + \frac{\Delta}{3} [f'(x_1-\Delta) - f'(x_1+\Delta)] + \frac{4}{3} f(x_1) \\ E''(\Delta) &= \frac{2}{3} [-f'(x_1-\Delta) + f'(x_1+\Delta)] + \frac{1}{3} [f''(x_1-\Delta) - f''(x_1+\Delta)] + \\ &\quad + \frac{\Delta}{3} [-f''(x_1-\Delta) - f''(x_1+\Delta)] = \\ &= \frac{1}{3} [-f'(x_1-\Delta) + f'(x_1+\Delta)] - \frac{\Delta}{3} [f''(x_1-\Delta) + f''(x_1+\Delta)] \\ E'''(\Delta) &= \frac{1}{3} [f''(x_1-\Delta) + f''(x_1+\Delta)] + \frac{-1}{3} [f''(x_1-\Delta) + f''(x_1+\Delta)] - \\ &\quad - \frac{\Delta}{3} [-f'''(x_1-\Delta) + f'''(x_1+\Delta)] = -\frac{\Delta}{3} [f'''(x_1+\Delta) - f'''(x_1-\Delta)] \end{aligned}$$

Pelo TVM sabemos que  $\exists \xi \in I$  |

$$E'''(\Delta) = -\frac{\Delta}{3} f^{IV}(\xi) \cdot [f(x_1+\Delta) - f(x_1-\Delta)] = -\frac{2\Delta^2}{3} f^{IV}(\xi)$$

Integrando a última equação temos que

$$E''(\Delta) = E''(0) + \int_0^\Delta E''(h) dh = \int_0^\Delta -\frac{2}{3} f^{IV}(\xi(h)) h^2 dh$$

Pelo TVMI,  $\exists \lambda \in I$

$$E''(\Delta) = -\frac{2}{3} f^{IV}(\xi(\lambda)) \int_0^\Delta h^2 dh \Rightarrow \exists \mu \in I | E''(\Delta) = -\frac{2}{9} \Delta^3 f^{IV}(\mu)$$

Após nova integração temos

$$E'(\Delta) = E'(0) + \int_0^\Delta E''(h) dh = -\frac{2}{9} \int_0^\Delta f^{IV}(\mu(h)) h^3 dh$$

Pelo TVMI  $\exists \Omega \in I$

$$E'(\Delta) = -\frac{2}{9} f^{IV}(\Omega) \int_0^\Delta h^3 dh = -\frac{\Delta^4}{18} f^{IV}(\Omega)$$

Integrando agora  $E'(\Delta)$  temos

$$E(\Delta) = E(0) + \int_0^\Delta E'(h) dh = -\frac{\Delta}{18} \int_0^\Delta f^{IV}(\Omega) h^4 dh$$

novamente pelo TVMI,  $\exists \theta \in I$

$$E(\Delta) = -\frac{\Delta^5}{90} f^{IV}(\theta)$$

Como não existe maneira simples de determinar  $\theta$ , será útil a inequação

$$|E(\Delta)| \leq \frac{+\Delta^5}{90} \max_{\theta \in I} |f^{IV}(\theta)|$$

### Exemplo 1:

Mostre que o resultado obtido no ex-IV-2 tem a precisão esperada res:

$$E = \int_0^1 e^x dx - \frac{0,5}{3} (1+4e^{0,5}+e^1) \approx -0,00058$$

O erro máximo esperado era

$$\frac{(0,5)^5}{90} \max_{\theta \in [0,1]} |e^\theta| = \frac{e}{2880} \approx 0,00094$$

Continuando a analogia com o tratamento que damos a regra do Trapézio procuraremos escrever a regra de Simpson para o intervalo  $[a, b]$  convenientemente sub-dividido.

Seja  $I = [a, b]$ ,

$$x_i = a + i \cdot \Delta, \quad i \in \{0, \dots, 2n\}, \quad \text{onde} \quad \Delta = \frac{b-a}{2n}$$

Para cada intervalo  $[x_{2i}, x_{2i+2}]$ , a regra de Simpson nos dá

$$\int_{x_{2i}}^{x_{2i+2}} f(x) dx = \frac{\Delta}{3} [f(x_{2i}) + 4f(x_{2i+1}) + f(x_{2i+2})] + E_i \quad \text{onde}$$

$$E_i = \frac{-\Delta^5}{90} f''(\theta_i), \quad \theta_i \in [x_{2i}, x_{2i+2}]$$

Somando sobre  $i$  temos

$$\sum_{i=0}^n \int_{x_{2i}}^{x_{2i+2}} f(x) dx = \int_a^b f(x) dx = \sum_{i=0}^n \frac{\Delta}{3} [f(x_{2i}) + 4f(x_{2i+1}) + f(x_{2i+2})] + \sum_{i=0}^n E_i$$

Vemos porém que o erro total,

$$\begin{aligned} |E_t| &= \left| \sum_{i=0}^n E_i \right| \leq \sum_{i=0}^n |E_i| = \\ &= \sum_{i=0}^n \frac{\Delta^5}{90} \max_{\theta_i \in [x_{2i}, x_{2i+2}]} |f''(\theta_i)| \leq \\ &\leq \sum_{i=0}^n \frac{\Delta^5}{90} \max_{\theta \in I} |f''(\theta)| = \frac{n\Delta^5}{90} \max_{\theta \in I} |f''(\theta)| \end{aligned}$$

Como  $\Delta = (b-a)/2n$ , temos também

$$|E_t| \leq \frac{n(b-a)^5}{2880 n^5} \max_{\theta \in I} |f''(\theta)| = \frac{(b-a)^5}{2880 n^4} \max_{\theta \in I} |f''(\theta)|$$

### ex 2

Dada a tabela ao lado calcule

$\int_0^1 e^x dx$  pela regra de Simpson, subdividindo o intervalo em duas partes.

Calcule o erro máximo cometido

| i | $x_i$ | $e^{x_i}$ |
|---|-------|-----------|
| 0 |       | 1         |
| 1 | 0,25  | 1,2840254 |
| 2 | 0,5   | 1,6487213 |
| 3 | 0,75  | 2,117     |
| 4 | 1     | 2,718282  |

res: $x_{2n}$ 

$$I = \int_{x_0}^{x_{2n}} f(x) dx \approx \frac{\Delta}{3} [f(x_0) + 4f(x_1) + 2f(x_2) + 4f(x_3) + \dots + 2f(x_{2n-2}) + 4f(x_{2n-1}) + f(x_{2n})]$$

no caso presente

$$I = \frac{0,25}{3} [1+4 \times 1,284025 + 2 \times 1,648721 + 4 \times 2,117 + 2,718282] = 1,7183187$$

O erro máximo esperado é

$$\frac{(1-0)^5}{2880^4} e \approx 6 \times 10^{-5}, \text{ e } E \approx 3,6 \times 10^{-5}$$

## VII - EXTRAPOLAÇÃO DE RICHARDSON

Frequentemente deparamo-nos com o problema de obter uma aproximação de um limite da forma

$$\lim_{\Delta \rightarrow 0} F(\Delta) = \alpha$$

A extrapolação de Richardson é um procedimento genérico para o cálculo aproximado de  $\alpha$  quando  $F(\Delta)$  puder ser colocado na forma

$$F(\Delta) = \alpha + \alpha_1 \Delta + \alpha_2 \Delta^2 + \dots + \alpha_n \Delta^n + O(\Delta^{n+\Omega})$$

Isto é, existe uma constante  $K$  tal que, sendo o erro

$$E(\Delta) = F(\Delta) - (\alpha + \alpha_1 \Delta + \dots + \alpha_n \Delta^n),$$

temos

$$\lim_{\Delta \rightarrow 0} \left| \frac{E(\Delta)}{\Delta^{n+\Omega}} \right| \leq K$$

Para tanto basta que, por exemplo,  $F(\Delta)$ , seja  $C^{n+1}$  em  $I$ , pois existirá então a série de Taylor

$$F(\Delta) = F(0) + \frac{F'(0)}{1!} \Delta + \dots + \frac{F^{(n)}(0)}{n!} \Delta^n + R(\Delta^{n+1})$$

onde

$$R(\Delta^{n+1}) = \frac{F^{(n+1)}(\xi)}{(n+1)!} \Delta^{n+1}, \text{ para algum } \xi \in I$$

Se for possível, para um dado  $\Delta$ , calcular  $F(\Delta)$  e  $F(\Delta/\lambda)$ ,  $\lambda > 1$ , temos

$$F\left(\frac{\Delta}{\lambda}\right) = \alpha + \lambda^{-1} \alpha_1 \Delta + \lambda^{-2} \alpha_2 \Delta^2 + \dots + \lambda^{-n} \alpha_n \Delta^n + O(\Delta^{n+\Omega})$$

e podemos eliminar o termo linear em  $\Delta$  pela subtração

$$\lambda F\left(\frac{\Delta}{\lambda}\right) - F(\Delta) = \alpha + (\lambda^{-1} - 1) \alpha_1 \Delta + \lambda^{-2} \alpha_2 \Delta^2 + \dots + (\lambda^{n-1} - 1) \alpha_n \Delta^n + O(\Delta^{n+\Omega})$$

definimos pois

$$F_1(\Delta) = \lambda F\left(\frac{\Delta}{\lambda}\right) - F(\Delta) = \alpha + \beta_2 \Delta^2 + \beta_3 \Delta^3 + \dots + \beta_n \Delta^n + O(\Delta^{n+\Omega})$$

visando eliminar o termo quadrático em  $\Delta$ , notamos que

$$F_1\left(\frac{\Delta}{\lambda}\right) = \alpha + \lambda^{-2} \beta_2 \Delta^2 + \dots + \lambda^{-n} \beta_n \Delta^n + O(\Delta^{n+\Omega}),$$

de modo que, definindo

$$F_2(\Delta) = [\lambda^2 F_1\left(\frac{\Delta}{\lambda}\right) - F_1(\Delta)] / (\lambda^2 - 1)$$

temos que

$$F_2(\Delta) = \alpha + \gamma_3 \Delta^3 + \gamma_4 \Delta^4 + \dots + \gamma_n \Delta^n + O(\Delta^{n+1})$$

Analogamente, definiremos

$$F_k(\Delta) = \lambda^k F_{k-1}(\Delta/\lambda) - F_{k-1}(\Delta) / (\lambda^{k-1})$$

Verifica-se que

$$F_k(\Delta) = \alpha + \zeta_{k+1} \Delta^{k+1} + \zeta_{k+2} \Delta^{k+2} + \dots + \zeta_n \Delta^n + O(\Delta^{n+1})$$

naturalmente esperamos que, se  $k > j$ ,  $F_k(\Delta)$  converja mais rapidamente para  $\alpha$  que  $F_j(\Delta)$

### exemplo 1

Usemos a ideia da extrapolação de Richardson para calcular  $e$ , sabendo que, por definição  $e = \lim_{\Delta \rightarrow 0} (1+\Delta)^{-\Delta-2}$

Escolhendo  $\lambda = 2$  e tomado inicialmente  $\Delta = 1$ , construimos a tabela

| $\Delta$ | $F_0(\Delta)$ | $F_1(\Delta)$ | $F_2(\Delta)$ | $F_3(\Delta)$ | $F_4(\Delta)$ |
|----------|---------------|---------------|---------------|---------------|---------------|
| 1        | 2,0           | 2,50          | 2,6771        | 2,7137        | 2,7182        |
| 1/2      | 2,25          | 2,6328        | 2,7091        | 2,7179        |               |
| 1/4      | 2,4414        | 2,6900        | 2,7168        |               |               |
| 1/8      | 2,5657        | 2,7101        |               |               |               |
| 1/16     | 2,6379        |               |               |               |               |

onde

$$F_k(\Delta) = \frac{\lambda^{k-1} F_{k-1}(\Delta/2) - F_{k-1}(\Delta)}{\lambda^k - 1} \implies$$

$$\begin{aligned} F_1(\Delta) &= 2F\left(\frac{\Delta}{2}\right) - F(\Delta) \\ F_2(\Delta) &= \frac{1}{3} (4F_1\left(\frac{\Delta}{2}\right) - F_1(\Delta)) \\ F_3(\Delta) &= \frac{1}{7} (8F_2\left(\frac{\Delta}{2}\right) - F_2(\Delta)) \\ &\text{etc...} \end{aligned}$$

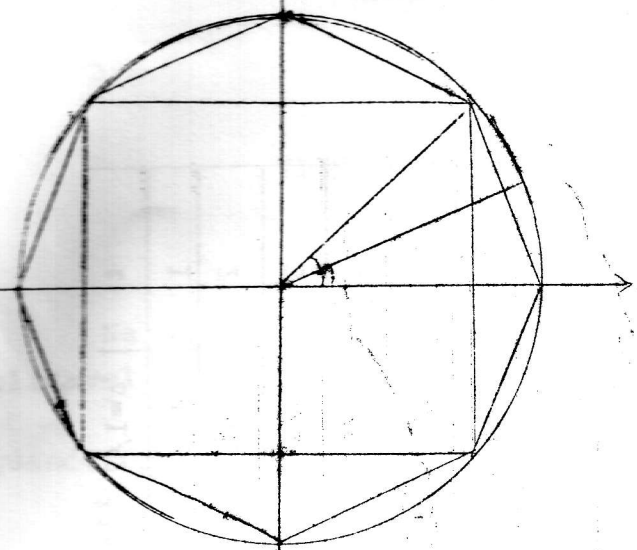
### exemplo 2

Calculamos um valor aproximado de  $2\pi$  pelo algoritmo de Arquimedes, melhorando os resultados obtidos pela extrapolação de Richardson.

O algoritmo de Arquimedes consiste de obter  $2\pi$  pelo limite

$$2\pi = \lim_{n \rightarrow \infty} \text{Per}(n)$$

onde  $\text{Per}(n)$  é o perímetro do polígono regular de  $n$  lados inscrito no círculo unitário



Iniciemos com  $n = 4$ , o quadrado e a seguir duplicaremos sucessivamente o número de lados do polígono inscrito.

Se definirmos  $\Delta = 1/n$   
e  $F(\Delta) = \text{Per}(n)$

$$\text{teremos } F(\Delta) = 2n \sin(\pi/n) = \frac{2}{\Delta} \sin(\Delta\pi)$$

Lembrando a fórmula do arco-metade temos que

$$F\left(\frac{\Delta}{2}\right) = \frac{4}{\Delta} \sqrt{\frac{1}{2} - \sqrt{1-\sin^2(\Delta\pi)}} / 2$$

$$\cos(\theta+\phi) = \cos\theta \cos\phi - \sin\theta \sin\phi \Rightarrow$$

$$\cos(2\theta) = \cos^2\theta - \sin^2\theta = 1 - 2\sin^2\theta \Rightarrow$$

$$\sin^2\theta = (1 - \cos 2\theta) / 2 = (1 - \sqrt{1 - \sin^2 2\theta}) / 2 \Rightarrow$$

$$\sin \frac{\theta}{2} = \sqrt{(1 - \sqrt{1 - \sin^2 \theta}) / 2} =$$

$$= \sqrt{\frac{1}{2} - \sqrt{1 - \sin^2 \theta}} / 2$$

A tabela II ilustra o processo, que foi interrompido quando o número de algarismos significativos montados assim o exigiu

### exemplo 3

Mostre que se  $F(\Delta)$  puder ser escrito como uma série de potências pares de

$$\text{ié, } F(\Delta) = \alpha + \alpha_2 \Delta^2 + \alpha_4 \Delta^4 + \dots + \alpha_{2n} \Delta^{2n} + O(\Delta^{2n+2}),$$

e definindo

$$F_k(\Delta) = \frac{\lambda^{2k} F_{k-1}(\frac{\Delta}{2}) - F_{k-1}(\Delta)}{\lambda^{2k-1}}, \text{ temos}$$

$$F_k(\Delta) = \alpha + \zeta_{2(k+1)} \Delta^{2(k+1)} + \zeta_{(k+2)} \Delta^{2(k+2)} + \dots + \zeta_{2n} \Delta^{2n} + O(\Delta^{2n+2})$$

| $\Delta$ | $\Delta = 1/2$ | $\Delta + 2$ | $\text{sen } (\Delta \Pi)$ | $F_O(\Delta) = \text{Per}(n)$ | $F_1(\Delta) = 2F_O\left(\frac{\Delta}{2}\right) - F_O(\Delta)$ | $F_2(\Delta) = \frac{4}{3}F_1\left(\frac{\Delta}{2}\right) - \frac{1}{3}F_1(\Delta)$ |
|----------|----------------|--------------|----------------------------|-------------------------------|---|--|
| 1        | 1/4            |              | $\sqrt{2}/2$               |                               | $\tilde{5},6558542$   | $6,\tilde{5}890156$  |
| 2        | 1/8            |              | $3,8268343 \text{ EE-1}$   | $6,\tilde{1}229349$           | $6,\tilde{3}628455$   | $6,28\tilde{7}4555$  |
| 3        | 1/16           |              | $9,8017140 \text{ EE-2}$   | $6,\tilde{2}730970$           | $6,28\tilde{8}2276$   | $6,283\tilde{4}566$  |
| 4        | 1/64           |              | $4,9067674 \text{ EE-2}$   | $6,28\tilde{0}6623$           | $6,28\tilde{4}4469$   |  |
| 5        | 1/128          |              | $2,4541229 \text{ EE-2}$   | $6,28\tilde{2}5545$           |   |  |
| 8        | $1/1024$       |              | $3,0679472 \text{ EE-3}$   | $6,2831559$                   |   |  |
| 10       | $1/4096$       |              | $7,6700717 \text{ EE-4}$   | $6,2833227$                   |   |  |

$$2\Pi = 6,2831853$$

| $F_3(\Delta) = \frac{8}{7}F_2\left(\frac{\Delta}{2}\right) - \frac{1}{7}F_2(\Delta)$ | $F_4(\Delta) = \frac{16}{15}F_3\left(\frac{1}{2}\right) - \frac{1}{15}F_3(\Delta)$ | $F_5(\Delta) = \frac{32}{31}F_4\left(\frac{\Delta}{2}\right) - \frac{1}{31}F_4(\Delta)$ |
|--|--|---|
| $6,2828853$  | $5,2831845$  | $6,2831857$   |
| $6,2831\tilde{6}59$  |  |   |
| $6,2831844$  |  |   |

## VIII - INTEGRAÇÃO PELO MÉTODO DE

ROMBERG

Na aula VII estudamos a extrapolação de Richardson, processo aplicável ao cálculo de um número  $I = \lim_{\Delta \rightarrow 0} T(\Delta)$ ,

$$\text{quando } T(\Delta) = I + \sum_{j=1}^m \alpha_j \Delta^j + O(\Delta^{m+2})$$

Seja agora

$$I = \int_a^b f(x) dx, \quad \text{e}$$

$$T(\Delta) = \left[ \frac{1}{2} f(x_0) + \sum_{i=1}^{n-1} f(x_i) + \frac{1}{2} f(x_n) \right] \Delta,$$

o cálculo de  $I$  pela regra do trapézio.

Mostraremos que se  $f$  é  $C^{2m}$  em  $[a, b]$ ,  $\Delta = (b-a)/n$ ,  $x_0 = a$ ,  $x_i = x_0 + i\Delta$ , então

$$T(\Delta) = I + \sum_{j=1}^m \alpha_{2j} \Delta^{2j} + O(\Delta^{2m+2})$$

Assim poderemos usar o resultado obtido no ex VII-3 para usar a extrapolação de Richardson com maior eficiência.

A este procedimento denominamos "Integração pelo método de Romberg".

**Teorema: (Fórmula de Euler-maclaurin)**

Sendo  $I$  e  $T(\Delta)$  como anteriormente definidos para  $f(x)$ ,  $C^{2m}$  em  $[a, b]$ , temos

$$T(\Delta) = I + \sum_{j=1}^{2m-2} C_{2j} \Delta^{2j} \left[ f^{(2j-1)}(x) \right]_a^b + O(\Delta^{2m})$$

onde os coeficientes  $C_{2j}$  tem por função geratriz

$$\frac{\Delta}{2} \frac{e^\Delta + 1}{e^\Delta - 1} = 1 + \sum_{j=1}^{\infty} C_{2j} \Delta^{2j}$$

Provemos inicialmente que  $T(\Delta)$  admite uma expansão na forma (tomando  $k = 2m$ )

$$T(\Delta) = I + \sum_{j=0}^{k-2} c_{j+1} \Delta^{j+1} \left[ f^{(j)}(x) \right]_a^b + O(\Delta^k)$$

Para tanto usaremos um conjunto de funções auxiliares,  $\phi, C_i^k$  em  $[0,1]$  e  $\{g_i\}$ ,  $i \in \mathbb{N}$ , uma família definida pelas relações

a)  $g_0(\mu) = 1$

b)  $g'_{i+1}(\mu) = g_i(\mu)$

c)  $\int_0^1 g_i(\mu) d\mu = 0, \quad i > 0$

de a) temos que

$$\int_0^1 \phi(\mu) d\mu = \int_0^1 \phi(\mu) g_0(\mu) d\mu =$$

integrando por partes

$$= \left[ \phi(\mu) g_1(\mu) \right]_0^1 - \int_0^1 \phi'(\mu) g_1(\mu) d\mu =$$

$$= \left[ \phi(\mu) g_1(\mu) - \phi'(\mu) g_2(\mu) \right]_0^1 + \int_0^1 \phi''(\mu) g_2(\mu) d\mu =$$

$$= \left[ \sum_{j=0}^{k-1} (-1)^j \phi^{(j)}(0) g_{j+1}(0) \right]_0^1 + (-1)^k \int_0^1 \phi^{(k)}(\mu) g_k(\mu) d\mu$$

das relações a), b) e c) temos que

$$g_1(\mu) = \mu - \frac{1}{2} \Rightarrow g_1(1) = -g_1(0) = \frac{1}{2} \text{ e, por simetria,}$$

$$g_\ell(1) = g_\ell(0) \text{ p/ } \ell \geq 2.$$

Fazendo  $C_\ell = (-1)^\ell g_\ell(0)$  temos

$$\int_0^1 \phi(\mu) d\mu = \frac{1}{2} (\phi(0) + \phi(1)) + \sum_{j=1}^{k-1} (-1)^j \left[ \phi^{(j)}(1) (-1)^{j+1} c_{j+1} \right]$$

$$\begin{aligned}
 & -\phi^{(j)}(0) (-1)^{j+1} C_{j+1} \Big]_+ + (-1)^k \int_0^1 \phi^{(k)}(\mu) g_k(\mu) d\mu = \\
 & = \frac{1}{2} (\phi(0) + \phi(1)) - \sum_{j=1}^{k-1} C_{j+1} (\phi^{(j)}(1) - \phi^{(j)}(0)) + \\
 & + (-1)^k \int_0^1 \phi^{(k)}(\mu) g_k(\mu) d\mu
 \end{aligned}$$

Façamos agora

$$\phi(\mu) = f(x), \text{ onde } x = x_{i-1} + \Delta\mu \text{ donde } \phi^{(j)}(\mu) = \Delta f^{(j)}(x) \text{ e } dx = \Delta d\mu$$

e teremos

$$\begin{aligned}
 & \int_{x_{i-1}}^{x_i} f(x) dx = \Delta \int_0^1 \phi(\mu) d\mu = \frac{\Delta}{2} (\phi(0) + \phi(1)) + \Delta \sum_{j=1}^{k-1} C_{j+1} \Delta^j \left[ f^{(j)}(x) \right]_{x_{i-1}}^{x_i} + \\
 & + (-1)^k \Delta \int_{x_{i-1}}^{x_i} \Delta^k f^{(k)}(x) \frac{dx}{\Delta} = \frac{\Delta}{2} (f(x_{i-1}) + f(x_i)) - \\
 & - \sum_{j=1}^{k-2} C_{j+1} \Delta^{j+1} \left[ f^{(j)}(x) \right]_{x_{i-1}}^{x_i} + R_i,
 \end{aligned}$$

onde

$$R_i = C_k \Delta^k \left[ f^{(k-1)}(x) \right]_{x_{i-1}}^{x_i} + \Delta^k \int_{x_{i-1}}^{x_i} f^{(k)}(x) dx =$$

pelos TVM e TVMI

$$= \Delta^{k+1} \left[ C_k f^k(\xi) + f^k(\zeta) \right] \quad \text{para algum par} \\ \xi, \zeta \in [x_{i-1}, x_i]$$

portanto

$$\begin{aligned}
 & \int_{x_{i-1}}^{x_i} f(x) dx = \frac{\Delta}{2} (f(x_{i-1}) + f(x_i)) - \sum_{j=1}^{k-2} C_{j+1} \Delta^{j+1} \left[ f^{(j)}(x) \right]_{x_{i-1}}^{x_i} + \\
 & + O(\Delta^{k+1})
 \end{aligned}$$

Somando a última igualdade para

$i = 1 \dots n$  temos finalmente

$$\int_a^b f(x) dx = \sum_{i=1}^n \int_{x_{i-1}}^{x_i} f(x) dx =$$

$$= \sum_{i=1}^n \frac{\Delta}{2} (f(x_{i-1}) + f(x_i)) - \sum_{i=1}^n \sum_{j=1}^{k-2} c_{j+1} \Delta^{j+1} \left[ f^{(j)}(x) \right]_{x_{i-1}}^{x_i} + \\ + \sum_{i=1}^n R_i = T(\Delta) - \sum_{j=1}^{k-2} c_{j+1} \Delta^{j+1} \left[ f^{(j)}(x) \right]_a^b + \sum_{i=1}^n R_i$$

$$\text{mas } \sum_{i=1}^n R_i = n O(\Delta^{k+1}) = \frac{(b-a)}{\Delta} O(\Delta^{k+1}) = O(\Delta^k)$$

onde

$$T(\Delta) = \int_a^b f(x) dx + \sum_{j=1}^{k-2} c_{j+1} \Delta^{j+1} \left[ f^{(j)}(x) \right]_a^b + O(\Delta^k)$$

Provemos agora que as constantes  $c_j$ , são nulos para  $j$  ímpar, e que tem a função geratriz do enunciado do teorema.

Para tanto basta tomar  $f(x) = e^x$ ,  $a=0$  e  $b=1$ . Na última igualdade

$$T(\Delta) = (e-1) + \sum_{j=1}^{k-2} c_{j+1} \Delta^{j+1} (e-1) + O(\Delta^k)$$

por outro lado  $T(\Delta)$  é, por definição

$$T(\Delta) = \Delta \left[ \frac{1}{2} e^0 + \sum_{i=1}^{n-1} e^{i\Delta} + \frac{1}{2} e^1 \right] = \Delta \left[ -\frac{1}{2} + \sum_{i=0}^{m-1} e^{i\Delta} + \frac{1}{2} e \right] = \\ = \Delta \left( \frac{e^{\Delta} - 1}{e^{\Delta} - 1} + \frac{e - 1}{2} \right) = \frac{\Delta}{2} \frac{(e-1)(e^\Delta + 1)}{(e^\Delta - 1)}$$

Igualando as duas expressões de  $T(\Delta)$ , temos

$$\frac{\Delta}{2} \frac{(e^\Delta + 1)}{(e^\Delta - 1)} (e-1) = (e-1) + \sum_{j=1}^{k-2} c_{j+1} \Delta^{j+1} (e-1) + O(\Delta^k)$$

$$\Rightarrow \frac{\Delta}{2} \frac{e^\Delta + 1}{e^\Delta - 1} = 1 + \sum_{j=1}^{k-2} c_{j+1} \Delta^{j+1} + O(\Delta^k)$$

$$\text{notando que } \frac{\Delta}{2} \frac{e^\Delta + 1}{e^\Delta - 1} = \frac{\Delta}{2} \frac{e^{\Delta/2} + e^{-\Delta/2}}{e^{\Delta/2} - e^{-\Delta/2}}$$

uma função par, concluimos que os coeficientes  $c_j$  p/  $j$  ímpar, que não são coeficientes de funções ímpares, não nulos.

No limite de  $k \rightarrow \infty$  temos então

$$\frac{\Delta}{2} \frac{e^\Delta + 1}{e^\Delta - 1} = 1 + \sum_{j=1}^{\infty} c_{2j} \Delta^{2j}$$

Q.E.D.

Exemplo 1:

Encontre a expressão analítica da integração de Ramberg de uma função  $f(x)$  integrada em  $x_0, x_2$  dada em

$$f(x_0) = f_0, \quad f(x_1) = f_1, \quad f(x_2) = f_2, \quad x_1 = \frac{x_0 + x_2}{2}$$

res:

Fazendo  $\Delta = [x_2 - x_0]$  conhecemos

$$T(\Delta) = \Delta \left( \frac{1}{2} f_0 + \frac{1}{2} f_2 \right) = \frac{\Delta}{2} (f_0 + f_2)$$

$$T\left(\frac{\Delta}{2}\right) = \frac{\Delta}{2} \left( \frac{1}{2} f_0 + f_1 + \frac{1}{2} f_2 \right) = \frac{\Delta}{4} (f_0 + 2f_1 + f_2)$$

do ex VII-3 sabemos que definindo

$$T_q(\Delta) = \left[ \lambda^{2q} T_{q-1}\left(\frac{\Delta}{\lambda}\right) - T_{q-1}(\Delta) \right] / (\lambda^{2q-1})$$

$$\text{temos } T_q(\Delta) = I + O(\Delta^{2q+2})$$

Fazendo  $\lambda = 2$  temos

$$T_q(\Delta) = \left[ 4^q T_{q-1}\left(\frac{\Delta}{2}\right) - T_{q-1}(\Delta) \right] / (4^{q-1})$$

e podemos calcular

$$T_1(\Delta) = \frac{1}{3} \left[ 4 \frac{\Delta}{4} (f_0 + 2f_1 + f_2) - \frac{\Delta}{2} (f_0 + f_2) \right] \Rightarrow$$

$$T_1(\Delta) = \frac{\Delta/2}{3} \left[ f_0 + 4f_1 + f_2 \right] + O(\Delta^4)$$

Reconhecemos  $T_1(\Delta)$  como a regra de Simpson!!

**Exemplo 2:** Calcule  $\int_0^1 e^x dx$  pelo método de Romberg, usando inicial = 1,  $\lambda = 2$  e usando nos cálculos 7 algarismos significativos

res: a Tabela abaixo ilustra o método

| $\Delta$ | $T(\Delta)$ | $T_1(\Delta) = \frac{1}{3} (4T(\frac{\Delta}{2}) - T(\Delta))$ | $T_2(\Delta) = \frac{1}{15} (16T_1(\frac{\Delta}{2}) - T_1(\Delta))$ | $T_3(\Delta) = \frac{1}{63} (64T_2(\frac{\Delta}{2}) - T_2(\Delta))$ |
|----------|-------------|--|--|--|
| 1        | 1,8591409   | 1,7188612  | 1,7182826  | 1,7182819  |
| 1/2      | 1,7539311   | 1,7183188  | 1,7182819  |  |
| 1/4      | 1,7272219   | 1,7182842  |  |  |
| 1/8      | 1,7205186   |  |  |  |

IX Os números de Bernoulli e outras aplicações da fórmula de MacLaurin.

Definimos os números de Bernoulli,  $B_n$ ,  $n \in \mathbb{N}$ , pela função geratriz

$$\frac{x}{e^x - 1} = \sum_{i=0}^{\infty} (B_i \cdot x^i / i!)$$

Lembrando que

$$e^x = 1 + \sum_{i=1}^{\infty} (x^i / i!), \text{ temos}$$

$$\frac{e^x - 1}{x} = \frac{1 + \sum_{i=1}^{\infty} (x^i / i!) - 1}{x} = \sum_{i=1}^{\infty} \frac{x^{(i-1)}}{i!}$$

multiplicando a última e a penúltima igualdade temos que

$$\begin{aligned} 1 &= \sum_{i=0}^{\infty} \frac{B_i x^i}{i!} \sum_{i=0}^{\infty} \frac{x^i}{(i+1)!} = B_0 + \\ &+ x^1 \left( \frac{B_0}{0!} \frac{1}{2!} + \frac{B_1}{1!} \frac{1}{1!} \right) + x^2 \left( \frac{B_0}{0!} \frac{1}{3!} + \frac{B_1}{1!} \frac{1}{2!} + \frac{B_2}{2!} \frac{1}{1!} \right) + \\ &\dots + x^n \left( \frac{B_0}{0!} \frac{1}{(n+1)!} + \frac{B_1}{1!} \frac{1}{n!} + \dots + \frac{B_{n-1}}{(n-1)!} \frac{1}{2!} + \frac{B_n}{n!} \frac{1}{1!} \right) + \dots \end{aligned}$$

devemos ter  $B_0 = 1$  e todos os coeficientes das potências não nulos de  $x$  iguais a zero.

Assim

$$B_0 = 1 \text{ e } \sum_{i=0}^n \frac{B_i}{i!} \frac{1}{(n-i+1)!} = 0$$

multiplicando a última igualdade por  $(n+1)!$  temos

$$0 = \sum_{i=0}^n \frac{(n+1)!}{(n+1-i)! \cdot i!} B_i = \left[ \sum_{i=1}^n \binom{n+1}{i} B_i \right] + 1$$

onde podemos determinar os números  $B_i$ .

Por exemplo

$$B_0 = 1$$

$$\begin{aligned} 1 + \binom{2}{1} B_1 &= 1 + 2 B_1 = 0 \Rightarrow B_1 = -1/2 \\ 1 + \binom{3}{1} B_1 + \binom{3}{2} B_2 &= 1 + 3 \cdot -\frac{1}{2} + 3 B_2 = 0 \Rightarrow B_2 = 1/6 \end{aligned}$$

e assim, sucessivamente obtemos

$$B_3 = 0, B_4 = -1/30, B_5 = 0, B_6 = 1/42 \dots$$

$$B_8 = -1/30, B_{10} = 5/66, B_{12} = -691/2730, \dots$$

Provemos que de modo geral  $B_{2i+1}$ ,  $i \in \mathbb{N}^*$  é igual a zero.

Por expressão da função geratriz

$$\frac{x}{e^x - 1} = \sum_{i=0}^{\infty} \frac{x^i}{i!} B_i = 1 + \left(-\frac{1}{2}\right) + \sum_{i=2}^{\infty} \frac{x^i}{i!} B_i, \text{ e}$$

$$\frac{x}{e^x - 1} + \frac{x}{2} = \frac{x}{2} \frac{e^x + 1}{e^x - 1} = 1 + \sum_{i=2}^{\infty} \frac{B_i}{i!} x^i = 1 + \sum_{i=2}^{\infty} C_i x^i$$

na página VIII-6 provamos que as constantes  $C_i = B_i/i!$  se anulam para  $i > 1$  e ímpar

Podemos também expressar agora a fórmula de Maclaurin em termos dos números de Bernoulli.

$$\int_a^b f(x) dx = T(\Delta) - \sum_{i=1}^{k-2} \frac{B_{2i}}{(2i)!} \Delta^{2i} \left[ f^{(2i-1)}(x) \right]_a^b + O(\Delta^{2k}).$$

Este resultado pode ser usado para melhorar um cálculo de uma integral se conhecermos o valor das derivadas do integrando nos extremos de integração.

exemplo 1

Se um valor aproximado para  $\pi = \int_0^\pi f(x) dx$  para  $f(x)$  conforme

a tabela do ex. II-1

$$T(\Delta) = \pi \left( \frac{1}{20} + \frac{1}{20} \right) = 0$$

$$I \approx T(\Delta) + \frac{B_2}{2!} \pi^2 (1 - (-1)) = 1,65$$

exemplo 2

Deduza a fórmula de Stirling

$$\ln(M!) \sim \frac{1}{2} \ln 2\pi + \left(M + \frac{1}{2}\right) \ln M - M + \sum_{i=1}^k \frac{B_{2i} B_{2i-2}}{2i(2i-1)} M^{-2i+1}$$

Deduziremos a fórmula de Stirling aplicando a fórmula de maclaurin ao cálculo de

$$\int_m^n \ln x \, dx, \quad m, n \in \mathbb{N}^*, \quad n > m$$

e tomando  $\Delta = 1$

$$\int_m^n \ln x \, dx = \left[ x \ln x - x \right]_m^n = n \ln n - n + -m \ln m + m \quad (a)$$

$$T(1) = 1 \left( \frac{1}{2} \ln m + \sum_{i=m+1}^{n-1} \ln i + \ln n \right) =$$

$$= \sum_{i=m+1}^n \ln i + \frac{1}{2} (\ln m - \ln n); \quad \text{mas}$$

$$\sum_{i=m+1}^n \ln i = \ln \prod_{i=m+1}^n i = \ln \frac{n!}{m!} = \ln (n!) - \ln (m!)$$

$$\text{e } T(1) = \ln (n!) - \ln (m!) + \frac{1}{2} (\ln m - \ln n) \quad (b)$$

A fórmula de maclaurin nos diz que

$$T(\Delta) = I - \sum_{i=1}^k \frac{B_{2i}}{(2i)!} \Delta^{2i} \left[ f^{(2i-1)}(x) \right]_m^n \quad (c)$$

mas

$$\ln^{(j)}(x) = (j-1)! x^{-j}, \quad j \geq 1$$

ou

$$\ln^{(2i-1)}(x) = (2i-2)! x^{(-2i+1)}, \quad \text{onde}$$

$$\sum_{i=1}^k \frac{B_{2i}}{(2i)!} \left[ \ln^{(2i-1)}(x) \right]_m^n \sum_{i=1}^k \frac{B_{2i}}{2i(2i-1)} \left[ x^{-2i+1} \right]_m^n \quad (d)$$

Substituindo (a), (b) e (d) em (c) vem

$$\begin{aligned} \ln(m!) &= \{ \ln(n!) - (n + \frac{1}{2}) \ln(n) + n + O(n^{-1}) \} + \\ &+ (\frac{1}{2} + m) \ln(m) - m + \sum_{i=1}^k \frac{B_{2i}}{2i(2i-1)} m^{-2i+1} + O(m^{-2k-1}). \end{aligned}$$

Para chegar a forma final da fórmula de Stirling basta tomar o limite  $n \rightarrow \infty$  e usar que

$$\lim_{n \rightarrow \infty} \{ \ln(n!) - (n + \frac{1}{2}) \ln n + n \} = \frac{1}{2} \ln 2\pi$$

Assim

$$\ln(m!) \sim \frac{1}{2} \ln 2\pi + (m + \frac{1}{2}) \ln m - m + (1/12) m^{-1} + \\ - (1/360) m^{-3} + (1/1260) m^{-5} - (1/1680) m^{-7} + \dots$$

exemplo 3

A tabela ao lado das aproximações de  $5! = 120$  a partir da fórmula de Sterling.

| k | $m!$      |
|---|-----------|
| 0 | 118,01917 |
| 1 | 120,00264 |
| 2 | 119,99997 |
| 3 | 120,06000 |

## X DERIVAÇÃO

Estudaremos nesta aula como obter numericamente a derivada de uma função,  $f(x)$ , tabelada por pontos  $x_i$  ( $i \in \{0, \dots, n\}$ ).

Uma abordagem possível para o problema é aproximarmos o valor da derivada de  $f(x)$ ,  $f'(x)$ , pela derivada de  $P(x)$ ,  $P'(x)$ , onde  $P(x)$  é o polinômio interpolador de Lagrange para os pontos  $\{x_0, \dots, x_n\}$ .

Da aula I sabemos que, sendo  $f \in C^{n+2}$  em  $[x_0, x_n]$

$$f(x) = P(x) + E(x), \text{ onde}$$

$$P(x) = \sum_{i=0}^n f_i L_i(x) \quad \text{e}$$

$$E(x) = (\prod_{j=0}^n (x-x_j)) f^{(n+1)}(\xi(x))/(n+1)!$$

$$\xi: [x_0, x_n] \rightarrow [x_0, x_n]$$

Podemos pois escrever

$$f'(x) = P'(x) + \epsilon(x) \quad \text{onde}$$

$$\begin{aligned} \epsilon(x) = E'(x) &= \left[ \sum_{\ell=0}^n \left[ \prod_{j=0, j \neq \ell}^n (x-x_j) f^{(n+1)}(\xi(x)) + \right. \right. \\ &\quad \left. \left. + \prod_{j=0}^n (x-x_j) f^{(n+2)}(\xi(x)) \xi'(x) \right] / (n+1)! \right]. \end{aligned}$$

É especial interesse o cálculo da derivada de  $f$  em um dos pontos  $x_i$  neste caso, na última igualdade, os termos da somatória se anulam se  $\ell \neq i$  e o termo fora da somatória também se anula (desde que existe  $\xi'(x)$ ).

Nestas condições

$$f'(x_i) = P'(x_i) + \left[ \prod_{j=0, j \neq i}^n (x_i - x_j) \right] f^{(n+1)}((x_i)/(n+1))!$$

Restringindo-nos ao caso de pontos igualmente espaçados, isto é, tais que

$$x_j = x_0 + jh, \text{ temos}$$

$$f'(x_i) = P'(x_i) + \left[ h^n (-1)^{n-i} f^{(n+1)}(\xi(x_i)) / \frac{(n+1)}{(n-i)! i!} \right]$$

e

$$P(x) = \sum_{\ell=0}^n f_\ell L_\ell(x), \text{ donde vimos que } f_\ell =$$

$$L_\ell(x) = \frac{\frac{n}{\pi} \cdot \frac{x-x_j}{x_\ell - x_j}}{\frac{1}{h^n} \cdot \frac{(-1)^{n-\ell}}{\ell!(n-\ell)!}} = \frac{\frac{n}{\pi} (x-x_j)}{j=0 \quad j \neq \ell}$$

exemplo 1

Determine as aproximações  $f'(x_i)$  onde  $x_i$  é ponto se  $[x_0, x_n]$  para  $n=1$  e  $n=2$ .

Considere os pontos igualmente espaçados e a função  $f(x)$  suficientemente diferenciável.

Para  $n=1$  temos

$$P(x) = \sum_{\ell=0}^1 f_\ell \frac{1}{h} \frac{(-1)^{1-\ell}}{\ell!(1-\ell)!} \sum_{j=0 \atop j \neq \ell}^1 (x-x_j) =$$

$$= \frac{1}{h} (-f_0(x-x_1) + f_1(x-x_0)), \text{ portanto } P'(x) =$$

$$P'(x) = \frac{1}{h} (-f_0 + f_1) = (f_1 - f_0)/h \quad \text{e}$$

$$P'(x_0) = P'(x_1) = (f_1 - f_0)/h.$$

Para  $n=2$  temos

$$P(x) = \sum_{\ell=0}^2 \frac{1}{h^2} \frac{(-1)^{2-\ell}}{\ell!(2-\ell)!} f_\ell \sum_{j=0 \atop j \neq \ell}^2 (x-x_j) =$$

$$= \frac{1}{h^2} \left( \frac{1}{2} f_0 (x-x_1)(x-x_2) + -f_1 (x-x_0)(x-x_2) + \frac{1}{2} (x-x_0)(x-x_1) \right)$$

onde  $\left( \frac{1}{2} f_0 (x-x_1)(x-x_2) - f_1 (x-x_0)(x-x_2) + \frac{1}{2} (x-x_0)(x-x_1) \right) = \frac{1}{2} f_0 (x-x_1)^2$

$$P'(x) = \frac{1}{2h^2} (f_0 ((x-x_2) + (x-x_1)) - 2f_1 (x-x_2) + (x-x_0) + f_2 (x-x_1) + (x-x_0)).$$

Fazendo  $x = x_0, x_1, x_2$ , temos respectivamente

$$P'(x_0) = \frac{1}{2h^2} (f_0 (-2h-h) - 2f_1 (-2h+0) + f_2 (-h+0)) =$$

$$= \frac{1}{2h^2} (-3f_0 + 4f_1 - f_2)$$

$$P'(x_1) = \frac{1}{2h^2} (f_0(-h+0) - 2f_1(h-h) + f_2(0+h)) = \frac{1}{2h} (f_2 - f_0)$$

$$P'(x_2) = \frac{1}{2h^2} (f_0 - 4f_1 + 3f_2)$$

exemplo 2

Determine limites de erro para o uso das fórmulas obtidas no exemplo 1 como aproximações das derivadas de  $f(x)$  no caso  $n=1$  temos,

$$\text{fazendo } K = \max_{y \in [x_0, x_2]} |f^{(2)}(y)|$$

$$|\epsilon(x)| \leq h^1 K / \frac{2!}{1!} = h K/2$$

no caso  $n=2$  temos,

$$\text{fazendo } M = \max_{y \in [x_0, x_2]} |f''(y)|$$

para  $i=0$  ou  $2$

$$|\epsilon(x)| \leq h^2 M / \frac{3!}{0!2!} = h^2 M/3$$

e para  $i=1$

$$|\epsilon(x)| \leq h^2 M / \frac{3!}{1!1!} = h^2 M/6$$

Uma outra abordagem possível para obter fórmulas de derivação é o de combinar expansão em série de Taylor em torno de um ponto  $x_i$ .

Assim

$$\begin{aligned} a) \quad f(x_i + h) &= f(x_i) + f'(x_i) h + \frac{1}{2} f''(x_i) h^2 + \\ &+ \frac{1}{6} f'''(x_i) h^3 + \frac{1}{24} f''''(x_i) h^4 + \dots \end{aligned}$$

$$\begin{aligned} b) \quad f(x_i - h) &= f(x_i) - f'(x_i) h + \frac{1}{2} f''(x_i) h^2 + \\ &- \frac{1}{6} f'''(x_i) h^3 + \frac{1}{24} f''''(x_i) h^4 + \dots \end{aligned}$$

de  $(a+b)/2h$  temos

$$\frac{f(x_i+h) - f(x_i-h)}{2h} = f'(x_i) + \frac{f'''(x_i)}{6} h^3 + \dots$$

ou

$$f'_i \sim (f_{i+1} - f_{i-1})/2h \quad e \quad \epsilon \sim \frac{1}{6} h^3 f'''(\gamma)$$

o que já havíamos obtidos por interpolação de tomarmos agora que

$$c) \quad f_{i+2} = f_i + 2f_i h + 2f''_i h^2 + \frac{4}{3} f'''_i h^3 + \\ + \frac{2}{3} f''''_i h^4 + \dots$$

$$d) \quad f_{i+3} = f_i + 3f'_i h + \frac{a}{2} f''_i h^2 + \frac{a}{2} f'''_i h^3 + \\ + \frac{27}{8} f''''_i h^4 + \dots$$

obtemos:

$$\text{de } 18a - 9c + 2d - 66f_i$$

$$f'_i = \frac{1}{6h} (-11f_i + 18f_{i+1} - 9f_{i+2} + 2f_{i+3}) + \\ - h^3 f''''_i / 4 + \dots$$

$$\text{de } 6a - 2b - c - 36f_i$$

$$f'_i = \frac{1}{6h} (-2f_{i-1} - 3f_i + 6f_{i+1} - f_{i+2}) + h^3 f''''_i 6/12 + \dots$$

obtemos a seguinte fórmula para o valor da derivada:

$$\begin{aligned} & f'_i = \frac{1}{6h} (f_{i-1} - 2f_i + f_{i+1}) + \frac{1}{12} h^3 (f''''_i)^{1/2} \frac{d}{dx} \\ & + \frac{1}{12} h^3 (f''''_i)^{1/2} \frac{d}{dx} + \frac{1}{12} h^3 (f''''_i)^{1/2} \frac{d}{dx} \\ & + \frac{1}{12} h^3 (f''''_i)^{1/2} \frac{d}{dx} + \frac{1}{12} h^3 (f''''_i)^{1/2} \frac{d}{dx} + \dots \end{aligned}$$

A tabela abaixo lista este tipo de fórmula  
de  $n=1$  até  $n=4$

x-5

| $n$ | $f'(x_i) = f'_i \sim$  | $E(x_i) \sim$  |
|-----|--|--|
| 1   | $(f_{i+1} - f_i)/h$<br>$(f_i - f_{i-1})/h$   | $\frac{h}{2} f''(\gamma)$  |
| 2   | $(-3f_i + 4f_{i+1} - f_{i+2})/2h$<br>$(3f_i - 4f_{i-1} + f_{i-2})/2h$<br>$(f_{i+1} - f_{i-1})/2h$  | $\frac{h^2}{3} f'''(\gamma)$<br>$\frac{h^2}{6} f'''(\gamma)$                               |
| 3   | $(-11f_i + 18f_{i+1} - 9f_{i+2} + 2f_{i+3})/6h$<br>$(+11f_i - 18f_{i-1} + 9f_{i-2} - 2f_{i-3})/6h$<br>$(-2f_{i-1} - 3f_i + 6f_{i+1} - f_{i+2})/6h$<br>$(2f_{i+1} + 3f_i - 6f_{i-1} + f_{i-2})/6h$  | $\frac{h^3}{4} f^{IV}(\gamma)$<br>$\frac{h^3}{12} F^{IV}(\gamma)$                          |
| 4   | $(-25f_i + 48f_{i+1} - 36f_{i+2} + 16f_{i+3} - 3f_{i+4})/12h$<br>$(25f_i - 48f_{i+1} + 36f_{i-2} - 16f_{i-3} + 3f_{i-4})/12h$<br>$(-3f_{i-1} - 10f_i + 18f_{i+1} - 6f_{i+2} + f_{i+3})/12h$<br>$(-3f_{i-1} + 10f_i - 18f_{i+1} + 6f_{i+2} - f_{i+3})/12h$<br>$(f_{i-2} - 8f_{i-1} + 8f_{i+1} - f_{i+2})/12h$ | $\frac{h^4}{5} f^V(\gamma)$<br>$\frac{h^4}{20} f^V(\gamma)$<br>$\frac{14}{30} f^V(\gamma)$ |

## XI - O MÉTODO DE EULER

Uma equação que nos forneça o valor da  $k$ -ésima derivada de uma função  $y(x)$ ,  $y^{(k)}(x)$ , em função do seu argumento,  $x$ , e do valor da função e de suas  $1^{\text{a}}$  até  $(k-1)$ -ésima derivadas no ponto  $x$  será dita uma equação diferencial ordinária (EDO) de ordem  $k$

$$y^{(k)}(x) = f(x, y(x), y'(x), \dots, y^{(k-1)}(x))$$

definida num certo intervalo  $[a, b]$ . Uma função  $y(x)$  der-se-á solução da E.D.O. se esta for obedecida para  $\forall x \in [a, b]$ .

A E.D.O. der-se-á linear sse a função  $f$  for linear em  $y, y', \dots, y^{k-1}$ .

Uma E.D.O. da forma

$$y^{(k)} + \alpha_{k-1} y^{(k-1)} + \dots + \alpha_1 y' + \alpha_0 y = g(x)$$

é obviamente linear e é denominada equação com coeficientes constantes. Se, em particular  $g(x) = 0$  a EDO será dita homogênea e, caso contrário, inhomogênea.

Em geral a solução de uma E.D.O. não é única de modo que para especificar a solução de interesse devemos impor algumas condições adicionais sobre  $y(x)$ .

Se estas condições forem dadas como o valor de  $y$  e suas derivadas no extremo  $a$ , i.e.

$$y(a) = \beta_0, y'(a) = \beta_1, \dots, y^{(k)}(a) = \beta_k,$$

a solução da E.D.O. é um "Problema de condições iniciais: caso contrário teremos um "Problema de Condições de Contrário".

Estudemos primeiramente o problema de condições iniciais para uma EDO de  $1^{\text{a}}$  ordem, i.e.

$$y'(x) = f(x, y(x)), x \in [a, b], y(a) = \zeta$$

Supondo que a solução\* é suficientemente derivável podemos escrever:

\* Teorema:

Se  $f(x, y)$  esteja definida no domínio  $D = [a, b] \times \mathbb{R}$  e seja contínua e Lipschitziana em  $y$ , i.e.

$$\exists K \in \mathbb{R} \mid |f(x, y) - f(x, z)| \leq K|y - z|,$$

$$\forall x \in [a, b], \forall y, z \in \mathbb{R}$$

então a E.D.O.  $y' = f(x, y)$  e a condição inicial  $y(a) = \zeta$  definem uma e uma única solução.

$$y(x+h) = y(x) + h y'(x) + \frac{h^2}{2!} y''(x) + \dots$$

$$\dots + \frac{h^k}{k!} y^{(k)}(x) + O(h^{k+1})$$

mas  $y'(x) = f(x, y(x))$  e, admitindo ser  $f(x, y)$  suficientemente derivável

$$y''(x) = \frac{d}{dx} f(x, y), \dots, y^{(j)}(x) = \frac{d^{j-1}f}{dx^{j-1}}(x, y)$$

onde

$$\begin{aligned} y(x+h) &= y(x) + hf(x, y(x)) + \frac{1}{2} h^2 \frac{df}{dx}(x, y(x)) + \\ &\dots + \frac{1}{k!} h^k \frac{d^{k-1}f}{dx^{k-1}}(x, y(x)) + O(h^{k+1}) = \\ &= y(x) + h \left( \sum_{j=1}^k \frac{1}{j!} h^{j-1} \frac{d^{j-1}f}{dx^{j-1}}(x, y(x)) \right) + O(h^{k+1}) \end{aligned}$$

tomando

$$T_k(x, y) = \sum_{j=1}^k \frac{1}{j!} h^{j-1} \frac{d^{j-1}f}{dx^{j-1}}(x, y)$$

temos

$$y(x+h) = y(x) + h T_k(x, y(x)) + O(h^{k+1})$$

Definimos pois os métodos de Taylor de ordem  $k$  como sendo, fazendo

$$x_i = x_0 + ih, \quad 0 \leq i \leq n \quad x_0 = a \quad e \quad x_n = b$$

a aproximação

$$y_{i+1} = \left[ y_i + h T_k(x_i, y_i) \right] \sim y(x_{i+1})$$

onde

$$y_0 = y(x_0) = \zeta(x_0) + \frac{1}{2} \zeta''(x_0)(x-x_0)^2 + \dots$$

Se em particular tomamos o método de ordem 1

e

$$y_{i+1} = y_i + h f(x_i, y_i), \quad y_0 = y(x_0)$$

a que damos o nome de método de Euler.

exemplo 1:

acheia a solução analítica e os algoritmos de Taylor de ordem 1 e 2 para a solução da EDO

$$y' = \gamma y, \text{ definida em } [0, 1]$$

com a condição inicial  $y(0) = M$ .

Estude numericamente os resultados dos métodos para  $M=1$  e  $\gamma = 1/2, 1 \text{ e } 2$  e  $h = 1, 1/2 \text{ e } 1/4$  resolução  
vê-se que  $y = e^{\gamma x + h \gamma M}$  é a solução procurada.

Tem-se  $f(x, y) = \gamma y$  e

$$\frac{df}{dx} = \frac{\partial f}{\partial x} + \frac{\partial f}{\partial y} \frac{dy}{dx} = \frac{\partial f}{\partial x} + \frac{\partial f}{\partial y} f = 0 + \gamma \gamma y = \gamma^2 y$$

Os algoritmos são pois

$$y_0 = y(0) \text{ e}$$

para  $h=1$

$$y_{i+1} = y_i + h \gamma y_i = (1+h\gamma) y_i = (1+h\gamma)^{i+1} y_0$$

para  $k=2$

$$y_{i+1} = y_i + h \gamma y_i + \frac{1}{2} h^2 \gamma^2 y_i - (1+h\gamma + \frac{1}{2} h^2 \gamma^2)^{i+1} y_0$$

a tabela ilustra os resultados numéricos para

| $\gamma$      | $h$           | $y_1$             | $y_2$              | $y_3$  | $y_4$                    |
|---------------|---------------|-------------------|--------------------|--------|--------------------------|
| $\frac{1}{2}$ | 1             | 1,5<br>(1,625)    | -                  | -      | $\frac{1}{e^2} = 1,6487$ |
|               | $\frac{1}{2}$ | 1,25<br>(1,2813)  | 1,5625<br>(1,6400) | -      | -                        |
|               | $\frac{1}{4}$ | 1,125<br>(1,1328) | 1,2656             | 1,4238 | 1,6018<br>(1,6468)       |
| 1             | 1             | 2,0<br>(2,5)      | -                  | -      | $e^1 = 2,7183$           |
|               | $\frac{1}{2}$ | 1,5<br>(1,625)    | 2,25<br>(2,6406)   | -      | -                        |
|               | $\frac{1}{4}$ | 1,25<br>(1,2813)  | 1,5625             | 1,9531 | 2,4414<br>(2,6949)       |
| 2             | 1             | 3<br>(5)          | -                  | -      | $e^2 = 7,3890$           |
|               | $\frac{1}{2}$ | 2<br>(2,5)        | 4<br>(6,25)        | -      | -                        |
|               | $\frac{1}{4}$ | 1,5<br>(1,625)    | 2,25               | 3,375  | 5,0625<br>(6,9729)       |

## XV - EQUAÇÕES DE DIFERÊNCIAS FINITAS

### E D F

A teoria de EDF é um largo campo dentro da matemática. Assim como fizemos com as EDO, faremos aqui uma rápida reunião de nomenclatura e de alguns fatos essenciais.

Definimos os seguintes operadores

(1) O operador de translação  $E$ , por

$$Ef(x) = f(x+h)$$

(2) O operador de diferença

$$\Delta f(x) = f(x+h) - f(x) = [E-1]f(x)$$

a agir sobre uma função  $f(x)$  dados um "passo"  $h$ .

O operador de diferença está intimamente ligado ao operador de derivação,  $D$ , pela relação

$$Df(x) = \lim_{h \rightarrow 0} \frac{\Delta f(x)}{h}$$

Definimos recursivamente

$$E^k f(x) = E(E^{k-1} f(x)) = f(x+kh)$$

e  $\Delta^k f(x) = [E-1]^k f(x)$

assim, por exemplo

$$\Delta^2 f(x) = [E^2 - 2E + 1]f(x) = f(x+2h) - 2f(x+h) + f(x)$$

Para a função identidade,  $f(x) = x$ , temos

$$Ex = x+h , \quad E^k x = x+kh$$

$$\Delta x = h , \quad \Delta^k x = 0 \quad p/ \quad k \geq 2$$

Podemos ver que valem as relações

$$D^k f(x) = \lim_{h \rightarrow 0} [\Delta^k f(x)]/h^k$$

Definimos ainda o operador diferencial

$$df(x) = hDf(x) , \text{ de modo que}$$

$$\frac{df}{dx} = \frac{hDf(x)}{h} = Df(x)$$

analogamente

$$\frac{d^k f}{(dx)^k} = D^k f(x)$$

Valem as seguintes propriedades,

a)

a')

$$D(\alpha f + \beta g) = \alpha Df + \beta Dg \quad \Delta(\alpha f + \beta g) = \alpha \Delta f + \beta \Delta g$$

b)

b')

$$D(f \cdot g) = f Dg + g Df \quad \Delta(f \cdot g) = f \Delta g + g \Delta f + \Delta f \Delta g$$

$$\alpha, \beta \in \mathbb{R}, fg \in C^1 \text{ em } R$$

Seja  $y(x_i)$  definida em  $x_i = x_0 + ih$ ,  $i \in \mathbb{N}$

Denominamos EDF de ordem  $k$  a uma equação da forma

$$\frac{\Delta^k y}{(\Delta x)^k} = G(x_i, y(x_i), \frac{\Delta y}{\Delta x}, \dots, \frac{\Delta^{k-1} y}{\Delta x^{k-1}})$$

equação que geralmente é mais conveniente escrever como

$$y_{i+k} = F(x_i, y_i, y_{i+1}, \dots, y_{i+k-1}) \text{ ou}$$

$$E^k y_i = F(x_i, y_i, E y_i, \dots, E^{k-1} y_i)$$

Diz-se solução da EDF a uma sequência  $y_i, i \in \mathbb{N}$ , tal que a EDF seja verdadeira  $\forall i \in \mathbb{N}$ .

Uma EDF dir-se-á linear de ordem  $k$  se puder ser posta na forma

$$A_k(i) E^k y_i + A_{k-1}(i) E^{k-1} y_i + \dots + A_0(i) y_i = R(i) \quad (1)$$

onde  $A_k(i) \neq 0$

Esta EDF dir-se-á homogênea se  $R(i) = 0, \forall i \in \mathbb{N}$ , e caso contrário inhomogênea.

Esta EDF dir-se-á "a coeficientes constantes" se  $A_j(i) = A_j$   $\forall i \in \mathbb{N}, 0 \leq j \leq k$ .

Tratemos de procurar uma forma geral da solução da EDF de ordem  $k$  linear a coeficientes constantes

$$A_k y_{i+h} + A_{k-1} y_{i+k-1} + \dots + A_0 y_i = R(i) \quad (2)$$

Inicialmente, para o caso homogêneo

$$A_k y_{i+h} + A_{k-1} y_{i+k-1} + \dots + A_0 y_i = 0, \quad (3)$$

Podemos reescrever (3) como

$$\left[ \prod_{\ell=1}^k (E - z_\ell) \right] y_i = 0$$

onde  $z_\ell$  são as raízes do polinômio

$$P(z) = \sum_{j=0}^k A_j z^j = A_k \prod_{\ell=1}^k (z - z_\ell)$$

Denominamos  $P(z)$  o polinômio característico da EDF. (3)

Não é difícil ver que, se  $z_\ell$  é uma raiz real

$y_i = z_\ell^i$  é uma solução

Se  $z_\ell$  tem multiplicidade  $m$  são também soluções

$$y_i = iz_\ell^i, y_i = i^2 z_\ell^i, \dots, i^m z_\ell^i$$

Se  $z_\ell$  é uma raiz complexa

$$z_\ell = (a+b i), \bar{z}_\ell = (a-b i) \text{ é tb raiz de } p(z)$$

Escrevendo  $\bar{z}_\ell$  e  $z_\ell$  na forma polar

$$a \pm b i = \rho (\cos \theta \pm i \sin \theta)$$

e lembrando da fórmula de

$$(a \pm b i)^m = \rho (\cos m \theta \pm i \sin m \theta)$$

vemos que

$$y_i = (\cos i \theta) \rho^i \text{ e } y_i = (\sin i \theta) \rho^i$$

são soluções da E.D.F.

Um conjunto de soluções  $y_i^1, \dots, y_i^k$  se diz linearmente independente, L.I., se

$$\sum_{j=1}^k \alpha_j y_i^j = 0, \forall i \in N \rightarrow \alpha_j = 0, \quad 0 \leq j \leq k$$

Caso contrário as soluções se dizem linearmente dependentes L.D.

Teorema 1 Se  $y_i^j, 1 \leq j \leq k$  são soluções L.I. de uma EDF linear homogênea de grau  $k$ , então qualquer solução  $y_i$  da EDF se escreve na forma

$$y_i = \sum_{j=1}^k \alpha_j y_i^j = y_i^G(\alpha_1, \dots, \alpha_k), \alpha_j \in R$$

Teorema 2 Para uma EDF linear, que tenha por EDF homogênea associada uma EDF nas condições do teorema 1, uma resolução qualquer se escreve como

$$y_i = y_i^G + y_i^P \quad \text{onde } y_i^P \text{ é uma solução qq da EDF inhomogênea.}$$

Exemplo 1: Resolva os EDF

$$a) 3y_{i+2} - 12y_{i+1} + 9y_i = 0$$

$$b) 3y_{i+2} - 12y_{i+1} + 15y_i = 0$$

$$c) 4y_{i+2} - 4y_{i+1} + y_i = 0$$

Os polinômios característicos respectivos são

$$a) P(z) = 3z^2 - 12z + 9 = 3(z-3)(z-1)$$

$$b) P(z) = 3z^2 - 12z + 15 = 3(z-2-i)(z-2+i)$$

$$c) P(z) = 4z^2 - 4z + 1 = 4(z - \frac{1}{2})(z - \frac{1}{2})$$

E as soluções gerais

$$a) y_i = \alpha_1 3^i + \alpha_2 1^i = \alpha_1 3^i + \alpha_2$$

$$b) y_i = (\sqrt{5})^i [\alpha_1 \cos i\theta + \alpha_2 \sin i\theta], \text{ onde}$$

$$\theta = \arcsen(1/\sqrt{5}) = \arccos(2/\sqrt{5})$$

$$c) y_i = (\alpha_1 + i\alpha_2) (1/2)^i$$

## XII - ANÁLISE DO ERRO PARA A FÓRMULA DE EULER

Na última aula vimos que a E.D.O.

$$y' = f(x, y(\epsilon)), \quad x \in [a, b], \quad y(a) = \zeta$$

podia ser aproximada, fazendo

$$x_i = x_0 + ih, \quad x_0 = a, \quad x_n = b, \quad \text{por}$$

$$y_{i+1} = \left| y_i + h f(x_i, y_i) \right| \sim y(x_i)$$

$$y_0 = \zeta$$

Queremos agora encontrar um limite para o  $i$ -ésimo passo da resolução,

$$E_i = y(x_i) - y_i$$

Lembrando que

$$y(x_{i+1}) = y(x_i + h) = y(x_i) + hf(x_i, y(x_i)) + h^2 y''(\xi_i)/2!$$

para algum  $\xi_i \in [x_i, x_{i+1}]$ , temos

$$E_{i+1} = y(x_{i+1}) - y_i = y(x_i) - y_i + h[f(x_i, y(x_i)) + f(x_i, y_i)] + \frac{1}{2} h^2 y''(\xi_i)$$

usando que  $\exists \lambda_i \in [y_i, y(x_i)] | f(x_i, y(x_i)) - f(x_i, y_i) =$

$$= \left| \frac{2f}{2y}(x_i, \lambda_i) \right| (y(x_i) - y_i), \quad \text{podemos escrever}$$

$$E_{i+1} = E_i + h \frac{2f}{2y}(x_i, \lambda_i) E_i + \frac{1}{2} h^2 y''(\xi_i)$$

Assumindo a existência de limites

$$|y''(x)| \leq K \quad \text{e} \quad \left| \frac{2f}{2y}(x, y) \right| \leq L, \quad \text{para } x \in [a, b] \quad \text{e} \quad y \in [c, d].$$

$$c = \min\{y_i, y(x_i)\} \quad d = \max\{y_i, y(x_i)\},$$

escrevemos

$$|E_{i+1}| \leq |E_i| + hL|E_i| + \frac{1}{2} h^2 K = (1+hL)|E_i| + \frac{1}{2} h^2 K$$

$$\text{como } E_0 = 0, \quad M = (1+hL) \geq 1 \quad \text{e} \quad N = \frac{1}{2} h^2 K \geq 0,$$

$$\text{fazendo } \epsilon_{i+1} = M\epsilon_i + N, \quad (a)$$

$$\text{teremos } \epsilon_i \geq |\epsilon_i| \quad \text{para } \epsilon_0 = 0$$

Uma sequência  $\{\epsilon_i\}$ ,  $i \in \mathbb{N}$ , diz-se solução de (a) se a equação (a) for satisfeita  $\forall i \in \mathbb{N}$

Seja  $\bar{\epsilon}_i$  uma particular solução de

$$\epsilon_{i+1} - M\epsilon_i = N \quad (\text{a})$$

e  $\bar{D}_i$  uma solução de

$$D_{i+1} - MD_i = 0 \quad (\text{b})$$

Provemos que qualquer solução de (a) pode ser escrito como

$$\epsilon_i = \alpha D_i + \bar{\epsilon}_i, \quad \alpha \in \mathbb{R}$$

Para tanto consideremos  $\epsilon_i$  uma segunda solução de "(a)" e

$$D_i = \bar{\epsilon}_i - \epsilon_i$$

De "(a)" temos que

$$\tilde{D}_{i+1} = \bar{\epsilon}_{i+1} - \bar{\epsilon}_i = M\bar{\epsilon}_i + N - M\bar{\epsilon}_i - N = M(\bar{\epsilon}_i - \epsilon_i) = MD_i = M^i D_0, \text{ que é solução de "(b)" com a condição inicial } D_0 = \bar{D}_0.$$

Podemos pois escrever uma solução qualquer de "(a)" na forma

$$\epsilon_i = \bar{\epsilon}_i + D_0 M^i, \text{ para algum } D_0 \in \mathbb{R}$$

Vê-se sem dificuldade que

$$\bar{\epsilon}_i = (1+hL)^i - \frac{1}{2} hK/L \text{ é uma solução particular de "(a)", pois}$$

$$M\bar{\epsilon}_{i+1} + N = (1+hL)\bar{\epsilon}_i + \frac{1}{2} h^2 K = (1+hL) [(1+hL)^i - \frac{1}{2} hK/L] + \frac{1}{2} h^2 K =$$

$$= (1+hL)^{i+1} - \frac{1}{2} hK/L = \bar{\epsilon}_{i+1}$$

Segue portanto que a solução geral de "(a)" é da forma

$$\epsilon_i = \bar{\epsilon}_i + D_0 M^i = \alpha (1+hL)^i - \frac{1}{2} hK/L, \text{ para } \alpha = (1+D_0) \in \mathbb{R}$$

Para a condição inicial  $\epsilon_0 = 0$

temos  $\alpha = \frac{1}{2} hKL$ , donde

$$\epsilon_i = \left( \frac{1}{2} hKL \right) (1+hL)^i - \frac{1}{2} hKL \geq |E_i|$$

usando a desigualdade,

$$1+hL \leq e^{hL} = 1+hL + \sum_{j=2}^{\infty} (hL)^j / j!,$$

podemos finalmente escrever

$$|E_i| \leq \epsilon_i \leq \left( \frac{1}{2} hKL \right) (e^{ihL} - 1) = h \left( \frac{1}{2} K/L \right) (e^{i(x_i - x_0)L} - 1)$$

Exemplo 1:

Verifique que os erros do exemplo XI-1 em  $x=1$  estão dentro do visto pela fórmula de erro para o método de Euler

Examinando a tabela e a solução analítica

$$y(x) = Me^{\gamma x} \text{ venis que temos as limites}$$

$$K = \gamma^2 e^\gamma \quad L = \gamma,$$

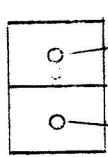
onde tomamos

$$y''(x) = \gamma^2 e^{\gamma x} \text{ e}$$

$$\frac{\partial f}{\partial y} = \gamma$$

A tabela abaixo lista os erros previstos e cometidos em cada caso

| $\gamma$      | $h$ | 1      | $1/2$  | $1/4$  |
|---------------|-----|--------|--------|--------|
| $\frac{1}{2}$ | 1   | 0,1487 | 0,0862 | 0,0469 |
|               | 2   | 0,268  | 0,134  | 0,0669 |
| 1             | 1   | 0,7183 | 0,4583 | 0,2769 |
|               | 2   | 2,34   | 1,17   | 0,584  |
| 2             | 1   | 4,3890 | 3,3890 | 2,3265 |
|               | 2   | 47,3   | 23,6   | 11,8   |

$$\rightarrow E_n = y(x_n) - y_n = e^\gamma - y_n$$


$$\rightarrow h \left( \frac{1}{2} K/L \right) (e^{1L} - 1) = h \frac{1}{2} \gamma e^\gamma (e^\gamma - 1)$$

## XIII O método de Runge-Kutta para EDO de primeira ordem

Vimos pelo ex. XII-1 que do método de Euler, não podemos esperar grande precisão, a não ser que, tenhamos um passo " $h$ " extremamente pequeno.

Por outro lado o uso de método de Taylor, de ordem maior que um, implicaria no conhecimento das derivadas de ordem poás altas da função incógnita  $y(x)$ , o que geralmente não temos.

O método de Runge-Kutta de ordem  $k$ , RKO( $k$ ), será um método pelo qual aproximaremos a solução,  $y(x)$ , da EDO

$$\begin{cases} y'(x) = f(x, y(x)), \quad x \in [a, b] \\ y(a) = \zeta \end{cases}$$

por uma sequência recursiva

$$\begin{aligned} y_{i+1} &= y_i + h \phi(x_i, y_i, h) = y_i + h \phi_i \\ y_0 &= \zeta \end{aligned}$$

que concorda com o método de Taylor de ordem  $k$ ,

$$\begin{aligned} y_{i+1} &= y_i + h y'(x_i) \frac{h^2}{2} y''(x_i) + \dots \\ &\quad \dots + (1/k!) h^k y^{(k)}(x_i) \end{aligned}$$

$$y_0 = \zeta$$

a menos de termos da ordem  $O(h^{k+1})$

Portanto devemos ter

$$\begin{aligned} \phi(x_i, y_i, h) &= \left[ \sum_{j=1}^k (1/j!) h^{j-1} y^{(j)}(x_i) \right] + O(h^k) = \\ \phi_i &= \left[ \sum_{j=1}^k (1/j!) h^{j-1} \left[ \frac{d^{j-1}}{dx^{j-1}} f(x_i, y_i) \right] \right] + O(h^k) \end{aligned}$$

Tomemos  $\phi_i$  na forma

$$\begin{aligned} \phi_i &= \left[ \alpha f(x_i, y_i) + \alpha_1 f(x_i + \beta_1 h, y_i + h \gamma_1) + \dots \right. \\ &\quad \left. \dots + \alpha_n f(x_i + h \beta_n, y_i + h \gamma_n) \right] \end{aligned}$$

$$\text{com } 0 \leq \beta_j \leq h, \quad 1 \leq j \leq n$$

Para o problema assim colocado, mesmo tomando  $n$  mínimo haverá geralmente mais de uma solução para as constantes  $\alpha, \alpha_j, \beta_j, \gamma_j$ .

Ilustremos o processo para  $k=2$

$$\Phi_i = f(x_i, y_i) + \frac{h}{2} (f(x_i, y_i) + f_y(x_i, y_i) f(x_i, y_i)) + O(h^2)$$

tomando  $n=1$  temos por outro lado,

$$\begin{aligned} \text{no } \Phi_i &= \left[ \alpha f(x_i, y_i) + \alpha_1 f(x_i + h\beta_1, y_i + h\gamma_1) \right] = \\ &= \alpha f(x_i, y_i) + \alpha_1 (f(x_i, y_i) + h\beta_1 f_x(x_i, y_i) + \\ &\quad + h\gamma_1 f_y(x_i, y_i)) + O(h^2) \end{aligned}$$

Igualando as duas expressões de  $\Phi_i$  vem,

$$\begin{aligned} f(x_i, y_i) + \frac{h}{2} f_x(x_i, y_i) + \frac{h}{2} f(x_i, y_i) f_y(x_i, y_i) &= \\ &= \alpha f(x_i, y_i) + \alpha_1 f(x_i, y_i) + h\alpha_1 \beta_1 f_x(x_i, y_i) + \\ &\quad + h\alpha_1 \gamma_1 f_y(x_i, y_i) + O(h^2), \end{aligned}$$

Igualdade que será satisfeita se satisfeito o sistema

$$\alpha + \alpha_1 = 1$$

$$\alpha_1 \beta_1 = 1/2$$

$$\alpha_1 \gamma_1 = f(x_i, y_i)/2$$

Dar soluções possíveis são mais comumente usadas:

$$a) \alpha = \alpha_1 = \frac{1}{2}, \beta_1 = 1, \gamma_1 = f(x_i, y_i)$$

$$b) \alpha = 0, \alpha_1 = 1, \beta_1 = \frac{1}{2}, \gamma_1 = \frac{1}{2} f(x_i, y_i)$$

que nos dão, respectivamente,

$$a) \Phi_i = \frac{1}{2} \left[ f(x_i, y_i) + f(x_i + h, y_i + hf(x_i, y_i)) \right]$$

$$b) \Phi_i = (f(x_i + \frac{1}{2}h, y_i + \frac{1}{2}hf(x_i, y_i)))$$

e as respectivas relações de recorrência

Em "Numerical Analysis" Knopp diz: "Agora, para a maioria das aplicações práticas, é suficiente considerar a solução de um problema numérico, quando se usa a regra de Euler, da seguinte forma: seja

a)  $y_{i+1} = y_i + \frac{h}{2} [f(x_i, y_i) + f(x_i + h, y_i + hf(x_i, y_i))]$

$y_0 = \zeta$  (método de Heun)

b)  $y_{i+1} = y_i + hf(x_i + \frac{h}{2}, y_i + (h/2) f(x_i, y_i))$

$y_0 = \zeta$  (método de Euler-Cauchy modificado)

Listamos a seguir alguns RK O(h) para ED0 de 1<sup>a</sup> ordem, escrita de uma maneira computacionalmente mais conveniente

|   |   |
|---|---|
| $y_{i+1} = y_i + \frac{1}{2}(K_1 + K_2)$<br>$K_1 = hf(x_i, y_i)$<br>$K_2 = hf(x_i + h, y_i + K_1)$<br>(Heun)  | $y_{i+1} = y_i + K_2$<br>$K_1 = hf(x_i, y_i)$<br>$K_2 = hf(x_i + \frac{1}{2}h, y_i + \frac{1}{2}K_1)$<br>(Euler Cauchy mod.)  |
| O(3) $y_{i+1} = y_i + \frac{1}{4}(K_1 + 3K_3)$<br>$K_1 = hf(x_i, y_i)$<br>$K_2 = hf(x_i + h/3, y_i + K_1/3)$<br>$K_3 = hf(x_i + 2h/3, y_i + 2K_2/3)$  | O(4) $y_{i+1} = y_i + \frac{1}{6}(K_1 + 2K_2 + 2K_3 + K_4)$<br>$K_1 = hf(x_i, y_i)$<br>$K_2 = hf(x_i + h/2, y_i + K_1/2)$<br>$K_3 = hf(x_i + h/2, y_i + K_2/2)$<br>$K_4 = hf(x_i + h, y_i + K_3)$ |
| O(5)<br>$y_{i+1} = y_i + \frac{1}{192} (23K_1 + 125K_3 - 81K_5 + 125K_6)$<br>$K_1 = hf(x_i, y_i)$<br>$K_2 = hf(x_i + h/3, y_i + K_1/3)$<br>$K_3 = hf(x_i + 2h/5, y_i + (6K_2 + 4K_1)/25)$<br>$K_4 = hf(x_i + h, y_i + (15K_3 - 12K_2 + K_1)/4)$<br>$K_5 = hf(x_i + 2h/3, y_i + (8K_4 - 50K_3 + 90K_2 - 6K_1)/81)$<br>$K_6 = hf(x_i + 4h/5, y_i + (8K_4 - 10K_3 + 36K_2 - 6K_1)/75)$ |   |

Embora menos freqüentemente usados, estão tabelados na literatura métodos de RK de ordem 6,7,8 e 9.

#### XIV - O MÉTODO DE ADAMS-BASHFORTH

Estamos interessado em resolver a E D O

$$y' = f(x, y(x))$$

$$x \in [x_0, b]$$

$$y(x_0) = y_0$$

Podemos sempre escrever

$$y(x+h) = y(x) + \int_x^{x+h} y'(p) dp, \text{ ou}$$

$$\text{tomando } x_i = x_0 + ih \quad | \quad x_n = b$$

$$y(x_{i+1}) = y(x_i) + \int_{x_i}^{x_{i+1}} y'(p) dp$$

Supondo conhecida a função  $y(x_j)$  nos pontos  $x_j$ ,  $0 \leq j \leq k$ , usaremos a aproximação

$$\bar{y}_{i+1} = y(x_i) + \int_{x_i}^{x_{i+1}} P(x) dx, \text{ onde } P(x) \text{ é o polinômio interpolador de}$$

Lagrange de  $y'(x)$  nos pontos  $x_0 \dots x_k$ , i.e.  $\text{gr}(P) = k$  e

$$P(x_j) = y'(x_j) = f(x_j, y(x_j)) = f(x_j)$$

Das aulas I e IV sabemos que

$$P(x) = \sum_{j=0}^k f(x_j) L_j(x) = \sum_{j=0}^k f(x_j) \prod_{l=0}^k \frac{x-x_l}{x_j-x_l}$$

tomando  $z = (x-x_0)/h$  teremos pois

$$\begin{aligned} \bar{y}_{k+1} &= y(x_k) + \int_k^{k+1} P(z) dz = y(x_k) + h \int_k^{k+1} \sum_{j=0}^k f(x_j) \prod_{l=0}^k \frac{z-l}{x_j-l} dz = \\ &= y(x_k) + h \sum_{j=0}^k f(x_j) \left[ \prod_{\substack{l=0 \\ l \neq j}}^k (j-l) \right] \int_k^{k+1} \prod_{\substack{l=0 \\ l \neq j}}^k \frac{1}{l!} (z-l) dz = \end{aligned}$$

$$= y(x_k) + h \sum_{j=0}^k f(x_j) \frac{(-1)^{k-j}}{j!(k-j)!} \int_k^{k+1} (z-l) dz =$$

$$= y(x_k) + h \sum_{j=0}^k A_j^k f(x_j), \text{ onde}$$

$$A_j^k = \frac{(-1)^{k-j}}{j!(k-j)!} \int_k^{k+1} \prod_{\substack{l=0 \\ l \neq j}}^k \frac{1}{l!} (z-l) dz$$

genericamente escrevemos

$$y_{i+1} = y(x_i) + h \sum_{j=0}^k A_j^k f(x_{i-h+j})$$

O método de Adams Bashforth de ordem  $k$  consiste em tomar recursivamente

$$y_{i+1} = y_i + h \sum_{j=0}^k A_j^k f_{i-k+j}, \text{ onde } f_m = f(x_m, y_m)$$

Obviamente para iniciar o processo necessitamos de valores para  $f_0, f_1, \dots, f_k$  e para tanto teremos de, por meio de algum outro metodo, obter estimativas para  $y_1, y_2, \dots, y_k$

Exemplo 1:

Obtenha as constantes  $A_j^k$  p/  $h = 1$  e  $2$

$$A_0^1 = \frac{(-1)^1}{0!1!} \int_1^2 (z-1) dz = -1 \left[ \frac{z^2}{2} - z \right]_1^2 = -\frac{1}{2}$$

$$A_1^1 = \frac{(-1)^0}{0!2!} \int_1^2 (z-0) dz = 1 \left[ \frac{z^2}{2} \right]_1^2 = \frac{3}{2}$$

$$A_0^2 = \frac{(-1)^2}{0!2!} \int_2^3 (z-1)(z-2) dz = \frac{1}{2} \int_2^3 (z^2 - 3z + 2) dz = \frac{5}{12}$$

$$A_1^2 = \frac{(-1)^1}{1!1!} \int_2^3 (z-0)(z-2) dz = - \int_2^3 (z^2 - 2z) dz = -\frac{4}{3}$$

$$A_2^2 = \frac{(-1)^0}{2!0!} \int_2^3 (z-0)(z-1) dz = \frac{1}{2} \int_2^3 (z^2 - z) dz = \frac{23}{12}$$

temos assim as fórmulas de recorrência

$$y_{i+1} = y_i + h \left( \frac{3}{2} f_i - \frac{1}{2} f_{i-1} \right)$$

$$y_{i+1} = y_i + h \left( \frac{23}{12} f_i - \frac{4}{3} f_{i-1} + \frac{5}{12} f_{i-2} \right)$$

$$y_{i+1} = y_i + h \left( \frac{55}{24} f_i - \frac{59}{24} f_{i-1} + \frac{37}{24} f_{i-2} - \frac{3}{8} f_{i-3} \right)$$

Exemplo 2:

Resolva pelo método de Adams-Bashforth a E.D.O

$$y' = 2y \quad x \in [0, 1]$$

$$\text{usando } h = \frac{1}{8}$$

$$y(0) = 1$$

As fórmulas de recorrência para as ordens 1 e 2 são, respectivamente

$$y_{i+1} = y_i + h \frac{1}{2} (3(2y_i) - (2y_{i-1})) = \frac{1}{8} (3y_i - y_{i-1})$$

$$y_{i+1} = y_i + h \frac{1}{12} (23(2y_i) - 16(2y_{i-1}) + 5(2y_{i-2})) = \frac{1}{48} (23y_i - 16y_{i-1} + 5y_{i-2})$$

A tabela abaixo lista os passos intermediários dos processos de 1<sup>a</sup> e 2<sup>a</sup> ordem. Os valores sublinhados foram tomados como dados

| i | <u>y</u>             | <u>x</u>             |
|---|----------------------|----------------------|
| 0 | <u>1</u>             | <u>1</u>             |
| 1 | <u>1 , 2 8 4 0 3</u> | <u>1 , 2 8 4 0 3</u> |
| 2 | 1 , 6 4 0 5 4        | <u>1 , 6 4 8 7 2</u> |
| 3 | 2 , 0 9 5 2 4        | 2 , 1 1 4 8 9        |
| 4 | 2 , 6 7 5 8 9        | 2 , 7 1 2 4 5        |
| 5 | 3 , 4 1 7 4 4        | 3 , 4 7 8 9 5        |
| 6 | 4 , 3 6 4 9 5        | 4 , 4 6 2 1 0        |
| 7 | 5 , 5 7 4 4 6        | 5 , 7 2 3 0 8        |
| 8 | 7 , 1 1 9 2 6        | 7 , 5 7 2 8 4        |

Resolva analiticamente  $e^{2x}$ , que daria  $y(x_j) = y(1) = 7,38906$

## XVI - ERRO PARA O MÉTODO DE ADAMS BASHFORTH

a) Erro local:

Na aula I sabemos que se  $P(x)$  é o polinômio interpolador na forma de Lagrange de  $f(x)$  em  $x_0, x_1, \dots, x_k$

$$E(x) = f(x) - P(x) = \left\{ f^{(k+1)}(\xi) \prod_{j=0}^k (x-x_j) \right\} / (k+1)!$$

para algum  $\xi \in I \supset \{x_0, x_k, x\}$

na aula XIV tomamos a aproximação

$$y(x_k+h) = y(x_k) + \int_{x_k}^{x_{k+1}} y'(x) dx \sim \tilde{y}_{k+1} = y(x_k) + \int_{x_k}^{x_{k+1}} P(x) dx,$$

onde  $P(x)$  interpola  $f(x_j, y(x_j))$  em  $0 \leq j \leq k$

Podemos assim escrever

$$y(x_{k+1}) = \tilde{y}_{k+1} + R_k, \quad \text{onde } R_k = \int_{x_k}^{x_{k+1}} (1/(k+1)!)^{(k+1)} (\xi(x)) \prod_{j=0}^k (x-x_j) dx =$$

pelo TVMI

$$= \frac{y^{(k+2)}(\xi)}{(k+1)!} \int_{x_k}^{x_{k+1}} \prod_{j=0}^k (x-x_j) dx = \quad \text{tomando } z = (x-x_0)/h$$

$$= \frac{y^{(k+1)}(\xi)}{(k+1)!} \int_k^{k+1} \prod_{j=0}^k h(z-j) dz = h^{k+2} y^{(k+2)}(\xi) C_{k+1}$$

$$\text{onde } C_{k+1} = \left\{ \int_k^{k+1} \prod_{j=0}^k (z-j) dz \right\} / (k+1)!$$

b) Erro global

O método de AB consistia em tomar interativamente

$$y_{i+1} = y_i + h \sum_{j=0}^k A_j^k f_{i-k+j}$$

Consideremos o erro de  $(i+1)$  éximo passo

$$E_{i+1} = y_{i+1} - y(x_{i+1})$$

Suporemos que os valores usados para iniciar a aplicação do método,

$y(x_0) = y_0, y(x_1) \sim y_1, \dots, y(x_k) \sim y_k$ , tem a precisão tal que

$$|E_j| < \delta \quad 0 \leq j \leq k, \quad \delta \in R_+$$

dá expressão do erro local:

$$y(x_{i+1}) = y(x_i) + h \sum_{j=0}^k A_j^k y'(x_{i-k+j}) + c_{k+1} h^{k+2} y^{(k+2)}(\xi_i)$$

Sejam

$$M = \max_{\xi \in I} |y^{(k+2)}(\xi)| \quad I = [x_0, b] \quad e$$

$$L = \max_{\substack{\xi \in I \\ \zeta \in J}} \left| \frac{\partial f}{\partial y}(\xi, \zeta) \right| \quad J = \{y(x_i)\} \cup \{y_i\} \quad 0 \leq i \leq n$$

$$\text{Temos que } |f_m - y'(x_m)| = |f(x_m, y_m) +$$

$$- f(x_m, y(x_m))| \leq L |y_m - y(x_m)| = L |E_m|$$

Portanto

$$|E_{i+1}| \leq |E_i| + h L \sum_{j=0}^k |A_j^k| |E_{i-k+j}| + |c_{k+1}| h^{k+2} M_{k+2}$$

não é difícil ver que

$$|E_i| \leq \varepsilon_i, \quad \text{onde } \varepsilon_i \text{ é solução de}$$

$$\varepsilon_{i+1} = \varepsilon_i + h L \sum_{j=0}^k |A_j^k| \varepsilon_{i-k+j} + |c_{k+1}| h^{k+2} M_{k+2}$$

$$\text{desde que } \varepsilon_e \geq \delta \quad p/ \quad 0 \leq i \leq k$$

Objetivando encontrar um limite para o erro solucionemos a EDF.

Uma solução particular nos é dada por  $\varepsilon_i = -Q$  onde

$$Q = + \frac{|c_{k+1}| h^{k+1} M_{k+2}}{L \sum_{j=0}^k |A_j^k|} = h^{k+1} \frac{|c_{k+1}| M_{k+2}}{L B_k} \quad \text{a EDF homogênea associada,}$$

$\varepsilon_{i+1} - \varepsilon_i - h L \sum_{j=0}^k |A_j^k| \varepsilon_{i-k+j}$ , tem por polinômio característica

$$P(z) = z^{k+1} - z^k - h L \sum_{j=0}^k |A_j^k| z^{k-j}$$

Reparando que

$$P(1) \leq 0, \quad e$$

$$\begin{aligned}
 P(1+hLB_k) &= (1+hLB_k)^{k+1} - (1+hLB_k)^k = hL \sum_{j=0}^k |A_j^k| (1+hLB_k)^{k-j} = \\
 &= (1+hLB_k)^k \{ (1+hLB_k) - 1 - hL \sum_{j=0}^k |A_j^k| (1+hLB_k)^{-j} \} \\
 &\geq (1+hLB_k)^k \{ hL B_k - hL \sum_{j=0}^k |A_j^k| \} = 0,
 \end{aligned}$$

ou seja

$$P(1) \leq 0 \geq P(1+hLB_k)$$

Concluimos que  $P(z)$  tem ao menos uma raiz

$z \in [1, 1+hLB_k]$  e, da aula XV,  $\epsilon_i = \alpha z^i$  é uma solução da EDF homogenea associada, e  $\epsilon_i = \alpha z^i - Q$  é uma solução da EDF inhomogênea,  $\forall \alpha \in \mathbb{R}$

Escolhendo  $\alpha = \delta + Q$

$\epsilon_i = (\delta + Q) z^i - Q$  é uma solução da EDF inhomogênea que satisfaz a condição  $\epsilon_j \geq \delta$ ,  $0 \leq j \leq k$ , de modo que  $|E_i| \leq (\delta + Q) z^i - Q$  como  $z^i \leq (1+hLB_k)^i \leq (1 + \sum_{j=1}^k (hLB_k)^j / j!)^i = e^{hLB_k} = e^{(x_i - x_0) LB_k}$

Podemos escrever

$$\begin{aligned}
 |E_i| &\leq (\delta + Q) e^{(x_i - x_0) LB_k} - Q = \\
 &= \delta e^{(x_i - x_0) LB_k} + h^{k+1} \frac{|C_{k+1}| M_{k+2}}{L B_k} (e^{(x_i - x_0) LB_k} - 1)
 \end{aligned}$$

exemplo 1

verifique que os erros do ex. XIII-2 estão dentro do previsto.

Calculemos inicialmente as constantes  $C_{k+1}$  e  $B_k$

$$C_{k+1} = \frac{1}{(k+1)!} \int_0^k (z-j) dz, \text{ assim}$$

$$C_{1+1} = \frac{1}{2!} \int_1^2 z(z-1) dz = \frac{1}{2} \left[ \frac{z^3}{3} - \frac{z^2}{2} \right]_1^2 = \frac{4}{6}$$

$$C_{2+1} = \frac{1}{3!} \int_2^3 z(z-1)(z-2) dz = \frac{1}{6} \left[ \frac{z^4}{4} - z^3 + z^2 \right]_2^3 = -\frac{31}{24}$$

$$C_{3+1} = \frac{1}{4!} \int_3^4 z(z-1)(z-2)(z-3) dz = \\ = \frac{1}{24} \left[ z^5/5 - \frac{3}{2} z^4 + \frac{11}{3} z^3 - 3z^2 \right]_3^4 = \frac{251}{720} \text{ e } B_k = \sum_{j=0}^{k+1} |A_j^k|$$

da aula XIV obtemos

$$B_1 = 2, B_2 = \frac{44}{12} = \frac{11}{3}, B_3 = \frac{160}{24} = \frac{20}{3}$$

no caso do ex. XIV-2 sabemos que a solução analítica da EDO é

$y(x) = e^{2x}$ , portanto  $M_{k+2} = \max_{\zeta \in [0,1]} |2^{k+2} e^{2x}|$ , de modo que

$$M_{1+2} \sim 59,2 \text{ e } M_{2+2} \sim 119.$$

$$\text{Já } \frac{\partial f}{\partial y} = \frac{\partial}{\partial y} 2y = 2 \text{ de modo que } L = \max_{\zeta \in [0,1]} \left| \frac{\partial f}{\partial y} \right| = 2$$

então, supondo que o cálculo é feito corretamente, temos

Tomando os dados iniciais por exatos, isto é  $\alpha = 0$ , temos o procedimento de  $O(1)$ ,

$$|E_n| \leq h^{1+1} \frac{4}{6} \cdot \frac{59,2}{2} (e^{(1-0)2} - 1) \sim h^2 \times 5,3 \times 10^2$$

e para o procedimento de ordem 2

$$|E_n| \leq h^{2+1} \frac{31}{24} \cdot \frac{119}{2 \times 11/3} (e^{(1-0)2} \times \frac{11}{3} - 1) \sim h^3 \times 3,2 \times 10^4$$

Substituindo  $h$  pelo valor utilizado no exemplo XIII-2 (1/8) verificamos o pedido.

Para verificar se o resultado obtido é exato devemos calcular

o erro numérico. O procedimento é o seguinte:

$$\text{maior val. (erro) } \frac{f}{\text{ord}} = \frac{1}{(k+1)!} \cdot \frac{1}{(k+1)} \cdot \frac{1}{(k+2)} \cdot \frac{1}{(k+3)}$$

$$\frac{f}{\text{ord}} = \left[ \frac{f_0}{0!} + \frac{f_1}{1!} + \frac{f_2}{2!} + \frac{f_3}{3!} \right] \frac{1}{4} = \frac{1}{4} (f_0 + f_1 + f_2 + f_3)$$

$$\frac{f}{\text{ord}} = \left[ \frac{f_0}{0!} + \frac{f_1}{1!} + \frac{f_2}{2!} + \frac{f_3}{3!} + \frac{f_4}{4!} \right] \frac{1}{4} = \frac{1}{4} (f_0 + f_1 + f_2 + f_3 + f_4)$$

XVII - O MÉTODO DE ADAMS MOULTON

Dada a EDO

$$y' = f(x, y(x)) \quad x \in [x_0, b]$$

$$y(x_0) = y_0 \quad x_i = x_0 + ih \quad h|x_n = b$$

viramos na aula XIV que podemos escrever

$$y(x_{k+1}) = y(x_k) + \int_{x_k}^{x_{k+1}} y'(x) dx$$

supondo conhecidas  $y(x_j)$   $0 \leq j \leq k+1$  e  $f(x_j) = f(x_j, y(x_j))$

Tomemos  $P(x)$ , o polinômio interpolador de Lagrange de  $f(x)$  em  $x_j$ ,  $0 \leq j \leq k+1$ , e a aproximação

$$\tilde{y}_{k+1} = y(x_k) + \int_{x_k}^{x_{k+1}} P(x) dx$$

mas

$$P(x) = \sum_{j=0}^{k+1} f(x_j) L_j(x) = \sum_{j=0}^{k+1} f(x_j) \prod_{l=0}^{k+1} \frac{x - x_l}{x_j - x_l}$$

tomando  $z = (x - x_0)/h$

$$\tilde{y}_{k+1} = y(x_k) + \int_k^{k+1} \sum_{j=0}^{k+1} f(x_j) \prod_{\substack{l=0 \\ l \neq j}}^{k+1} \frac{z - l}{j - l} h dz =$$

$$= y(x_k) + h \sum_{j=0}^{k+1} f(x_j) \left[ \prod_{\substack{l=0 \\ l \neq j}}^{k+1} \frac{1}{(j-l)} \right] \int_k^{k+1} \prod_{\substack{l=0 \\ l \neq j}}^{k+1} \frac{1}{(z-l)} dz$$

ou

$$\tilde{y}_{k+1} = y(x_k) + h \sum_{j=0}^{k+1} \hat{A}_j^k f(x_j),$$

onde

$$\hat{A}_j^k = \frac{(-1)^{k-j+1}}{j!(k-j+1)!} \int_k^{k+1} \prod_{\substack{l=0 \\ l \neq j}}^{k+1} (z-l) dz$$

genericamente temos

$$\tilde{y}_{i+1} = y(x_i) + h \sum_{j=0}^{k+1} \hat{A}_j^k f(x_{i-k+j})$$

O método de AM consiste em tomar recursivamente, sobre  $0 \leq l \leq m$  e sobre  $k+l \leq i \leq n$

$$\hat{y}_{i+1}^{[l]} = y_i^{[m]} + h \sum_{j=0}^k \hat{A}_j^k f_{i-k+j}^{[m]} + h \hat{A}_{k+1}^k f_{i+1}^{[l-1]},$$

onde

$$f_j^{[l]} = f(x_j, y_j)$$

Para iniciar o processo recursivo necessitamos de aproximações para  $y_0^m, y_1^m, \dots, y_k^m$  e  $y_{k+1}^0$ , e de uma aproximação  $y_{i+1}^0$  para cada novo índice  $i+1$ .

Uma maneira eficiente de obter estas aproximações seria, por exemplo, a de obter  $y_0^m, \dots, y_k^m$  por Runge Kutta e  $y_{i+1}^0$  por Adams Bashforth de ordem  $k$ .

Definimos  $\hat{y}_{i+1}^\infty$  como o ponto fixo

$$\hat{y}_{i+1}^\infty = y_i^\infty + h \sum_{j=0}^k \hat{A}_j^k f_{i-k+j}^\infty + h \hat{A}_{k+1}^k f_{i+1}^\infty = \beta_i + h \hat{A}_{k+1}^k f(x_{i+1}, \hat{y}_{i+1}^\infty)$$

Sabe-se que se uma função  $F(y)$  tem um ponto fixo  $\bar{y}$  e é Lipschitziana com constante  $L < 1$ , ie

$$|L| < 1 \quad |F(y) - F(z)| \leq L |y - z|$$

então o processo  $y^{l+1} = F(y^l)$  converge p/  $y^\infty = \bar{y}$

no método de AM temos

$$y_{i+1}^{l+1} = h \hat{A}_{k+1}^k f(x_{i+1}, y_{i+1}^l)$$

Tornando  $L = \max |\partial f / \partial y|$ , basta tornar  $h$

$$h \hat{A}_{k+1}^k L < 1 \quad \text{para assegurar a convergência}$$

Ex.: 1 Calcule  $\hat{A}_j^k$  p/  $k = 1, 2$

$$\hat{A}_0^1 = \frac{(-1)^{1-0+1}}{0!(1-0+1)!} \int_1^2 (z-1)(z-2) dz = \frac{1}{1!} \left| \frac{z^3}{3} - \frac{3z^2}{2} + 2z \right|_1^2 = \frac{1}{12}$$

$$\hat{A}_1^1 = \frac{(-1)^{1-1+1}}{1!(1-1+1)!} \int_1^2 (z-0)(z-2) dz = \frac{2}{3}$$

$$\hat{A}_2^1 = \frac{(-1)^{1-2+1}}{2!(1-2+1)!} \int_1^2 (z-0)(z-1) dz = \frac{5}{12}$$

$$\hat{A}_0^2 = \frac{(-1)^{2-0+1}}{0! 3!} \int_2^3 (z-1)(z-2)(z-3) dz = \frac{1}{24}$$

$$\hat{A}_1^2 = \frac{(-1)^2}{1! 2!} \int_2^3 (z-0)(z-2)(z-3) dz = \frac{1}{24}$$

$$\hat{A}_2^2 = 19/24, \quad \hat{A}_3^2 = 3/8$$

temos assim as relações de recorrência do método de AM

$$y_{i+1} = y_i^m + \frac{h}{12} (5f_{i+1}^{-1} + 8f_i^m - f_{i-1}^m)$$

$$y_{i+1} = y_i^m + \frac{h}{24} (9f_{i+1}^{-1} + 19f_i^m - 5f_{i-1}^m + f_{i-2}^m)$$

Ex.: 2 Resolva numéricamente a EDO

$y' = 2y, \quad x = 0,1, \quad y(0) = 1$  pelo método de AM de ordem 2 e passo

$$h = 1/8$$

Para iniciar o processo use a condição inicial e

$y(1/8) = 1,284025417$ . Tome  $y_{i+1}^0$  o valor obtido pelo método de AB de ordem 1. Tome  $m = 2$

res.:

$$AB \quad y_{i+1}^0 = y_i^m + \frac{h}{2} (3f_{i-1}^m) = y_i^m + \frac{1}{8} (3y_i^m - y_{i-1}^m)$$

$$AM \quad y_{i+1} = y_i^m + \frac{h}{12} (5f_{i+1}^{-1} + 8f_i^m - f_{i-1}^m) = y_i^m +$$

$$+ \frac{1}{48} (5y_{i+1}^{-1} + 8y_i^m - y_{i-1}^m)$$

| i | $y_i^0$     | $y_i^1$     | $y_i^2$      |
|---|-------------|-------------|--------------|
| 0 | —           | —           | 1            |
| 1 | —           | —           | 1,2840025417 |
| 2 | 1,640534948 | 1,648085377 | 1,648871880  |
| 3 | 2,106695658 | 2,116380795 | 2,117389663  |
| 4 | 2,705301802 | 2,717738714 | 2,719034225  |
| 5 | 3,473998352 | 3,489969140 | 3,491632763  |
| 6 | 4,461115771 | 4,481624571 | 4,483760904  |
| 7 | 5,728717148 | 5,755053406 | 5,757796767  |
| 8 | 7,356500443 | 7,390320006 | 7,393842877  |

O erro cometido em  $x = 1$  ( $i=8$ ) é  $< 0,06\%$

## XVIII - SISTEMAS DE E.D.O. E O "METODO DA CHUTE"

para problemas de volume de contorno

Ocupamo-nos até o momento apenas de E.D.O de 1<sup>a</sup> ordem. Ocorre que uma E.D.O de ordem arbitrária, k,

$$y^{(k)}(t) = f(t, y(t), y'(t), \dots, y^{(k-1)}(t)),$$

pode ser escrito como o sistema de k EDO de 1<sup>a</sup> ordem. Tomando  $y(t) = \begin{pmatrix} 1 \\ 2 \\ \vdots \\ k \end{pmatrix}$

$$\begin{matrix} j \\ y' \end{matrix} = \begin{matrix} j+1 \\ y \end{matrix}, \quad 1 \leq j \leq k-1$$

$$\begin{matrix} k \\ y' \end{matrix} = f(t, \begin{matrix} 1 \\ y \end{matrix}, \begin{matrix} 2 \\ y \end{matrix}, \dots, \begin{matrix} k-1 \\ y \end{matrix})$$

Os métodos já estudados, (EU, RK, AB, AM) podem ser facilmente adaptados à solução de sistemas de EDO de 1<sup>a</sup> Ordem

$$\begin{matrix} j \\ y' \end{matrix} = f_j(t, \begin{matrix} 1 \\ y \end{matrix}, \dots, \begin{matrix} k \\ y \end{matrix}) \quad 1 \leq j \leq k$$

ou equivalentemente, em notação vetorial,

$$\mathbf{Y}' = \mathbf{F}(t, \mathbf{Y})$$

Ex.: 1

Escreva as formas de aplicação dos métodos de RK e AB de ordem 2 para o sistema

$$\begin{matrix} 1 \\ y' \end{matrix} = \begin{matrix} 1 \\ f(t, \begin{matrix} 1 \\ y \end{matrix}, \begin{matrix} 2 \\ y \end{matrix}) \end{matrix}$$

$$\begin{matrix} 2 \\ y' \end{matrix} = \begin{matrix} 2 \\ f_2(t, \begin{matrix} 1 \\ y \end{matrix}, \begin{matrix} 2 \\ y \end{matrix}) \end{matrix}$$

O método de RK se escreve

$$\begin{matrix} 1 \\ y_{i+1} \end{matrix} = \begin{matrix} 1 \\ y_i \end{matrix} + \frac{1}{2} (\begin{matrix} 1 \\ K_1 \end{matrix} + \begin{matrix} 1 \\ K_2 \end{matrix})$$

$$\begin{matrix} 2 \\ y_{i+1} \end{matrix} = \begin{matrix} 2 \\ y_i \end{matrix} + \frac{1}{2} (\begin{matrix} 2 \\ K_1 \end{matrix} + \begin{matrix} 2 \\ K_2 \end{matrix})$$

$$\begin{matrix} 1 \\ K_1 \end{matrix} = h^1 f(t_i, \begin{matrix} 1 \\ y_i \end{matrix}, \begin{matrix} 2 \\ y_i \end{matrix})$$

$$\begin{matrix} 2 \\ K_1 \end{matrix} = h^2 f(t_i, \begin{matrix} 1 \\ y_i \end{matrix}, \begin{matrix} 2 \\ y_i \end{matrix})$$

$$\begin{matrix} 1 \\ K_2 \end{matrix} = h^1 f(t_{i+1}, \begin{matrix} 1 \\ y_i + \begin{matrix} 1 \\ K_1 \end{matrix} \end{matrix}, \begin{matrix} 2 \\ y_i + \begin{matrix} 2 \\ K_1 \end{matrix} \end{matrix})$$

$$\begin{matrix} 2 \\ K_2 \end{matrix} = h^2 f(t_{i+1}, \begin{matrix} 1 \\ y_i + \begin{matrix} 1 \\ K_1 \end{matrix} \end{matrix}, \begin{matrix} 2 \\ y_i + \begin{matrix} 2 \\ K_1 \end{matrix} \end{matrix})$$

O método de AB se escreve

$${}^1y_{i+1} = {}^1y_i + h \left( \frac{3}{2} {}^1f(t_i, {}^1y_i, {}^2y_i) - \frac{1}{2} {}^1f(t_{i-1}, {}^1y_{i-1}, {}^2y_{i-1}) \right)$$

$${}^2y_{i+1} = {}^2y_i + h \left( \frac{3}{2} {}^2f(t_i, {}^1y_i, {}^2y_i) - \frac{1}{2} {}^2f(t_{i-1}, {}^1y_{i-1}, {}^2y_{i-1}) \right)$$

No caso de uma E.D.O de 1ª ordem havia apenas uma "condição auxiliar" e, portanto estavamos sempre num problema de valor inicial.

Para um sistema de E.D.O. temos tanto problema de valores iniciais como problemas de valores de contorno.

Casos típicos seriam, respectivamente,

$${}^1y' = {}^2y \quad \text{método de Euler: } t \in [0, T]$$

$${}^2y' = g(t, {}^1y, {}^2y) \quad | \quad {}^1y(0) = \alpha, \quad {}^2y(0) = \beta$$

$${}^1y' = {}^2y \quad | \quad t \in [0, T]$$

$${}^2y' = f(t, {}^1y, {}^2y) \quad | \quad {}^1y(0) = \alpha, \quad {}^1y(T) = j$$

Na 1ª opção obtemos o tipo de equação

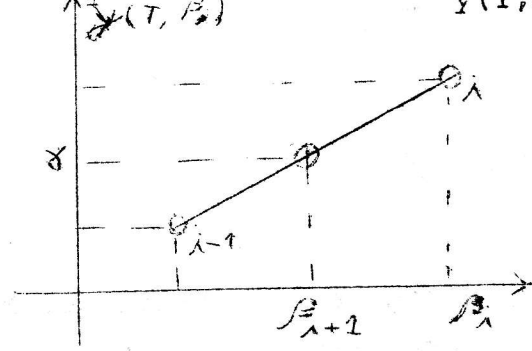
No primeiro caso, tomando  $\alpha$  fixo, a cada escolha de  $\beta$  corresponderá um valor de  ${}^1y$  em  $T$ ,  ${}^1y(T, \beta)$

Procuremos uma sequência  $\beta_0, \beta_1, \dots, \beta_m$  tal que

$$\lim_{m \rightarrow \infty} \beta_m = \beta \quad \text{e } \beta \text{ tal que } {}^1y(T, \beta) = \gamma$$

A partir de duas tentativas iniciais,  $\beta_0$  e  $\beta_1$ , tornaremos os termos seguintes por interpolação linear

$$\beta_{i+1} = \beta_{i-1} + (\beta_i - \beta_{i-1}) \frac{{}^1y(T, \beta_{i-1}) - {}^1y(T, \beta_i)}{{}^1y(T, \beta_i) - {}^1y(T, \beta_{i-1})}$$



É difícil conseguir a priori garantia para a convergência do processo, i.e., que pode muito bem não ocorrer!

Para sistemas maiores a mesma idéia pode ser aplicada. Considere o problema

$$\begin{array}{l|l} \begin{array}{l} {}^1y' = {}^1f(t, {}^1y, {}^2y, {}^3y, {}^4y) \\ {}^2y' = {}^2f(t, {}^1y, {}^2y, {}^3y, {}^4y) \\ {}^3y' = {}^3f(t, {}^1y, {}^2y, {}^3y, {}^4y) \\ {}^4y' = {}^4f(t, {}^1y, {}^2y, {}^3y, {}^4y) \end{array} & t \in [0, T] \\ \hline \begin{array}{l} {}^1y(0) = {}^1\alpha, \quad {}^2y(0) = {}^2\alpha \\ {}^3y(T) = {}^3\beta, \quad {}^4y(T) = {}^4\beta \end{array} & \end{array}$$

Para o mesmo sistema tomemos as condições iniciais

$$j_y(0) = j_\alpha, \quad 1 \leq j \leq 4$$

Considerando  ${}^1\alpha$  e  ${}^2\alpha$  fixos e  ${}^3y(t, {}^3\alpha, {}^4\alpha)$ ,  ${}^4y(t, {}^3\alpha, {}^4\alpha)$ , os valores de  ${}^3y$  e  ${}^4y$  em  $T$  para dados  ${}^3\alpha$  e  ${}^4\alpha$

Aproximando  $j_y(t, {}^3\alpha, {}^4\alpha)$  pela série de Taylor de  $j_y$  em torno do ponto  $(t, {}^3\alpha, {}^4\alpha)$  temos

$$j_y(t, {}^3\alpha, {}^4\alpha) = j_y(t, {}^3\hat{\alpha}, {}^4\hat{\alpha}) + \\ + \left| \frac{\partial^2 y}{\partial^3 \alpha} (t, {}^3\hat{\alpha}, {}^4\hat{\alpha}) \right| ({}^3\alpha - {}^3\hat{\alpha}) + \left| \frac{\partial^2 y}{\partial^4 \alpha} (t, {}^3\hat{\alpha}, {}^4\hat{\alpha}) \right| ({}^4\alpha - {}^4\hat{\alpha})$$

Tomaremos iterativamente

$$j_{\alpha_{i+1}} = j_{\alpha_i} + j_{\delta_i}, \text{ sendo a } j_{\delta} \text{ a solução do sistema linear}$$

$$j_{\beta} = j_y(t, {}^3\alpha_i, {}^4\alpha_i) + \left| \frac{\partial j_y}{\partial {}^3\alpha} \right|_i {}^3\delta_i + \left| \frac{\partial j_y}{\partial {}^4\alpha} \right|_i {}^4\delta_i$$

$$\text{p/ } 3 \leq j \leq 4$$

em que aproximaremos

$$\left| \frac{\partial j_y}{\partial {}^3\alpha} \right|_i \text{ por } \frac{j_y(t, {}^3\alpha_i + {}^3h_i, {}^4\alpha_i) - j_y(t, {}^3\alpha_i, {}^4\alpha_i)}{{}^3h_i}$$

$$\left| \frac{\partial j_y}{\partial {}^4\alpha} \right|_i \sim \frac{j_y(t, {}^3\alpha_i, {}^4\alpha_i + {}^4h_i) - j_y(t, {}^3\alpha_i, {}^4\alpha_i)}{{}^4h_i}$$

Novamente é difícil assegurar a convergência do processo. Notamos também que o trabalho computacional cresce rapidamente com a ordem do sistema.

XIX - Alguns Métodos para Soluções Numéricas de  
Problemas de Valor de Contorno em EDO Lineares

Uma EDO de ordem k

$$y^k = f(t, y, y', \dots, y^{k-1}), \quad t \in [a, b]$$

tem condição de contorno

$$\Gamma_Y | [y(x_1), y(x_2), \dots, y(x_e), y'(x_1), \dots, y'(x_e)},$$

$$\dots, y^k(x_1), \dots, y^k(x_e)] = 0, \quad 1 \leq k \leq n, \quad x_i \in [a, b]$$

A EDO dir-se-á linear se for da forma

$$L[y] = g(x), \quad \text{onde}$$

$$L[y] = \sum_{j=0}^k f_j y^{(k-j)}(x)$$

para função  $f_j$  em  $[a, b]$

As condições de contorno der-se-ão lineares de dois pontos se forem da forma

$$\Gamma_Y[y] = j_Y \quad \dots \quad Y = 1 \dots k, \quad \text{onde}$$

$$\Gamma_Y[y] = \sum_{j=0}^{k-1} \alpha_j^Y y^j(a) + \beta_j^Y y^j(b)$$

Iniciemos o estudo pelas equações de 2ª ordem,  $k=2$ , que será facilmente generalizado

$$\begin{cases} y''(x) + P(x) y'(x) + Q(x) y(x) = g(x) \\ \alpha_0 y(a) + \alpha_1 y'(a) = A \\ \beta_0 y(b) + \beta_1 y'(b) = B \end{cases} \quad \begin{array}{l} K \in [a, b] \\ x_i = x_0 + ih \\ x_0 = a, x_n = b \end{array}$$

1) método das diferenças finitas (D.F.)

Vimos na aula X como aproximar o valor da derivada de uma função  $y(x)$  tabelada em pontos, igualmente espaçados,  $x_i = k_0 + ih$ .

Por exemplo

$$y'(x_i) \sim (y_{i+1} - y_{i-1})/2h = y'(x_i) + O(h^2)$$

$$y''(x_i) \sim (y_{i+1} - 2y_i + y_{i-1})/h^2 = y''(x_i) + O(h^2)$$

anteriormente dada para o caso de XIX

Podemos pois aproximar o EDO pelo sistemas

$$\frac{1}{h^2} (y_{i+1} - 2y_i + y_{i-1}) + \frac{1}{2h} P(x_i) (y_{i+1} - y_{i-1}) +$$

$$+ Q(x_i) y_i = g(x_i), \text{ em } 1 \leq i \leq h-1, \text{ sistema tridiagonal}$$

que nos fornece  $n-1$  equações à  $n+1$  incógnitas  $y_i$ ,  $i=1 \dots n$

Podemos usar as duas condições de contorno na forma

$$\begin{cases} \alpha_0 y_0 + \alpha_1 \frac{1}{h} (y_1 - y_0) = A \\ \beta_0 y_n + \beta_1 \frac{1}{h} (y_n - y_{n-1}) = B \end{cases}$$

neste caso usamos a aproximação

$$y'_i = y_i - y_{i-1}/h = y(x_i) + O(h)$$

Poderíamos também ter usado a aproximação de 2ª ordem

$$\begin{cases} \alpha_0 y_0 + \alpha_1 \frac{1}{2h} (-3y_0 + 4y_1 - y_2) = A \\ \beta_0 y_n + \beta_1 \frac{1}{2h} (3y_n - 4y_{n-1} + y_{n-2}) = B \end{cases}$$

Uma terceira opção, talvez a melhor, é usar apenas as aproximações por diferenças centrais. Para tanto introduzimos os pontos  $x_{-1} = x_0 - h$ ,  $x_{n+1} = x_n + h$ ,

escrevemos a EDO como

$$\begin{cases} g(x_i) = \frac{1}{h^2} (y_{i+1} - 2y_i + y_{i-1}) + \frac{1}{2h} P(x_i) (y_{i+1} - y_{i-1}) + \\ + Q(x_i) y_i \text{ em } 0 \leq i \leq n \end{cases}$$

e as condições de contorno como

$$\begin{cases} \alpha_0 y_0 + \alpha_1 \frac{1}{2h} (y_1 - y_0) = A \\ \beta_0 y_n + \beta_1 \frac{1}{2h} (y_{n+1} - y_n) = B \end{cases}$$

É frequente o uso da estropilação de Richardson para melhorar uma série de resultados obtidos pela aplicação do método para diferentes passos  $H_i = h/\lambda^i$ .

Algoritmos especialmente desenvolvidos para a redução de sistema tri-(penta, hepta...) diagonais aumentam sobremaneira a eficiência do método.

## 2) método dos mínimos quadrados

Procuraremos aproximar a solução da EDO,  $y(x)$ , por

$$y(x) = u_0(x) + \sum_{j=1}^S c_j u_j(x), \text{ onde}$$

$c_j \in \mathbb{R}$  são coeficientes a determinar e  $u_0$  e  $u_j$  são funções que obedecem, respectivamente, as condições de contorno inhomogêneos e homogêneos, isto é,

$$\Gamma_Y [u_0] = j_Y \quad \text{e} \quad \Gamma_Y [u_j] = 0$$

ou no caso específico estudado

$$\left\{ \begin{array}{l} \alpha_0 u_0(a) + \alpha_1 u'_0(a) = A \\ \beta_0 u_0(b) + \beta_1 u'_0(b) = B \\ \alpha_0 u_j(a) + \alpha_1 u'_j(a) = 0 \\ \beta_0 u_j(b) + \beta_1 u'_j(b) = 0 \end{array} \right.$$

Por linearidade das condições de contorno segue que a aproximação  $(x) = u_0 + \sum c_j u_j$  obedece a condição de contorno do problema dado, qualquer que

Se  $u$  for efetivamente a solução da EDO, temos que

$$L[u] - g(x) = 0$$

$$\text{Seja } R(x, c_1, \dots, c_S) = L[u] - g$$

O método dos mínimos quadrados (MQ) consiste em tomar por aproximação de  $y$  a função que minimiza a integral

$$J = \int_a^b R^2(x, c_1, \dots, c_j) dx$$

A condição de mínimo se expressa no sistema

$$\frac{\partial J}{\partial c_j} = 2 \int_a^b R \frac{\partial R}{\partial c_j} dx = 0$$

$$\text{p/ } j=1, \dots, S$$

mas

$$R = L[u_o] + \sum_{j=1}^s c_j L[u_j] - g$$

e

$$\frac{\partial R}{\partial c_j} = L[u_j]$$

assim

$$\begin{aligned} \frac{\partial J}{\partial c_j} &= 2 \int_a^b L[u_j] \left( L[u_o] + \sum_{r=1}^s c_r L[u_r] - g \right) dx = \\ &= 2 \left[ \int_a^b L[u_j] L[u_o] dx + \sum_{r=1}^s c_r \int_a^b L[u_j] L[u_r] dx + \right. \\ &\quad \left. - \int_a^b L[u_j] g dx \right] = 2 \left( R_j^o + \sum_{r=1}^s c_r R_j^r - \rho_j \right), \text{ onde} \\ R_j^r &= \int_a^b L[u_r] L[u_j] dx \quad e \quad \rho_j = \int_a^b L[u_j] g dx \end{aligned}$$

a solução do sistema linear

$$\left\{ \begin{array}{l} R_j^o + \sum_{r=1}^s c_r R_j^r - \rho_j = 0 \end{array} \right.$$

nos fornecerá as constantes  $c_j$  a serem utilizadas.

## XX INTEGRAIS MULTIPLAS

Analisaremos agora procedimentos para o cálculo de integrais multiplas. Embora as idéias apresentadas sejam generalizáveis ao cálculo em qualquer dimensão, restringir-nos-emos às integrais duplas, i.e.,

$$J = \int_{\sigma} \int f(x, y) dx dy$$

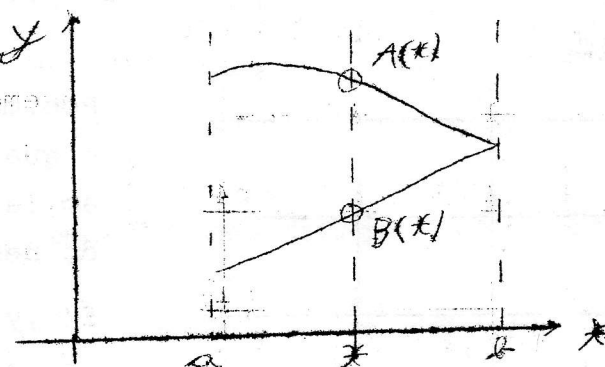
Uma primeira idéia é usarmos a já conhecida fórmula de Newton do caso unidimensional. Tomemos a região  $\sigma$  delimitada por

$$a \leq x \leq b$$

e  
 $A(x) \leq y \leq B(x)$

teremos então

$$J = \int_a^b dx \int_{A(x)}^{B(x)} f(x, y) dy$$



Para uma função  $\phi(z)$ ,  $z \in [\alpha, \beta]$  tínhamos as fórmulas de Newton de ordem n na forma

$$\int_{\alpha}^{\beta} \phi(z) dz \sim nh \sum_{l=0}^n C_l^n \phi_l$$

onde  $z_l = \alpha + lh$ ,  $z_n = \beta$  e  $\phi_l = \phi(z_l)$ .

tomando  $x_i = a + ih$ ,  $h = (b-a)/n$ ,  $y_{ij} = A(x_i) + jh_i$ ,  $h_i = \frac{B(x_i) - A(x_i)}{m}$

$$F(x_i) = m h_i \sum_{j=0}^m C_j^m f(x_i, y_{ij}) \sim \int_{A(x_i)}^{B(x_i)} f(x_i, y) dy$$

teremos

$$J \sim \int_a^b F(x) dx \sim nh \sum_{i=0}^n C_i^n F_i = nh \sum_{i=0}^n C_i^n nh_i \sum_{j=0}^m C_j^m f(x_i, y_{ij})$$

ex. 1

Ilustre o processo descrito no caso  $n = m = 2$ , i.e., a generalização da fórmula de Simpson, na região  $a \leq x \leq b$ ,  $A \leq y \leq B$

$$\int_a^b \phi(z) dz \sim \frac{h}{3} (\phi_0 + 4\phi_1 + \phi_2) \text{ onde } z_l = a + l h, h = (\beta - \alpha)/2$$

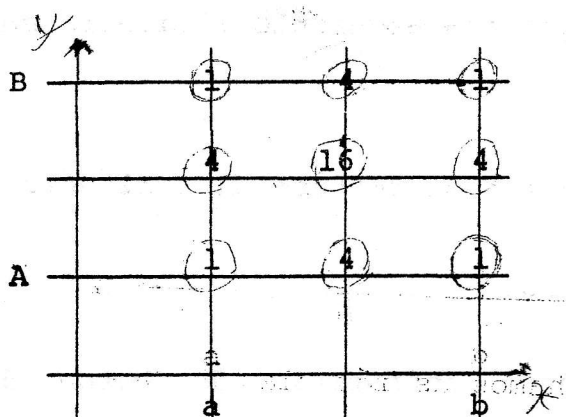
neste caso teremos

$$J \sim 2h \sum_{i=0}^2 \sum_{j=0}^2 c_i^n c_j^m f_{ij}, \text{ onde } c_0^n = c_2^n = 1/6, c_1^n = 2/3,$$

$$h = \frac{b-a}{2}, h_i = \frac{A(x_i) - A(x_{i-1})}{2} = \frac{b-a}{2}$$

onde

$$J \sim \frac{h h_i}{9} [(f_{00} + f_{20} + f_{02} + f_{22}) + 4(f_{10} + f_{01} + f_{21} + f_{12}) + 16 f_{11}]$$



Podemos sempre cobrir uma região  $\sigma$  qualquer, com células como ao lado indicada, extendido quando necessário o domínio de

$$f(x,y) \text{ por } f(x,y) = 0, \forall (x,y) \notin \sigma$$

Uma segunda idéia é, dada uma região  $\sigma$  determinado, espalhar em  $N$  pontos  $P_i = (x_i, y_i)$ ,  $1 \leq i \leq N$  e tomar

$$J \sim \sum_{i=1}^N K_i f_i = \sum_i K_i f(x_i, y_i) \text{ onde os coeficientes } K_i \text{ serão determinados exigindo-se que a aproximação resulta exata se } f \text{ é da forma}$$

$$f(x,y) = \sum_{\substack{m+n \leq k \\ m,n \in \mathbb{N}}} \alpha_{m,n} x^m y^n. \text{ Seja } J_{m,n} = \iint_{\sigma} x^m y^n dx dy \text{ a condição pode ser expressa pelo sistema} \quad J_{m,n} = \sum_{i=1}^N K_i (x_i)^m (y_i)^n$$

sendo  $m, n \in \mathbb{N} \mid m+n \leq k$ , há  $(k+1) + k + (k-1) + \dots + 1 = (k+1)(k+2)/2$  escolhas possíveis de duplas  $(m, n)$ . Logo basta tomar  $N = (k+1)(k+2)/2$  pontos e o sistema resulta, em geral, determinado.

Este método é bastante útil quando podemos escolher o nº por não a localização exata dos pontos  $P_i$ .

$$\left. \begin{array}{l} \text{Se } f(x,y) \text{ é contínua em } \sigma, \text{ então } J = \iint_{\sigma} f(x,y) dx dy = \lim_{N \rightarrow \infty} \sum_{i=1}^N K_i f(x_i, y_i) \end{array} \right\}$$

ex. 2

De uma sugestão de como espalhar os  $N$  pontos  $P_i$  em uma dada região  $\sigma$  de modo que a fórmula de aproximação optada seja a "melhor possível".

Como terceiro método exporemos o uso que se pode fazer de um gerador de números aleatórios, i.e., uma função RAND:  $N \rightarrow [0,1]$  que nos fornece uma sequência de "nós aleatórios".

Se  $\sigma = Q = [0,1] \times [0,1]$  tomaremos  $J \sim \frac{1}{n} \sum_{i=1}^n f_i$ , onde

$f_i = f(x_i^1, x_i^2)$  é, para cada  $i$ , a função num argumento aleatório em  $Q$ .

Se  $\sigma$  é limitada, i.e.,

$\sigma \subset [a^1, b^1] \times [a^2, b^2]$  basta tomar a transformação de variáveis

$$x^\ell = a^\ell + (b^\ell - a^\ell) z^\ell, \quad \ell=1,2 \quad \text{e teremos}$$

$$J = \int_a^{b^1} F(z^1, z^2) \left| \frac{\partial(x^1, x^2)}{\partial(z^1, z^2)} \right| dy^1 dz^2$$

onde

$$F(z^1, z^2) = \begin{cases} f(x^1(z^1), x^2(z^2)) & \text{se } (x^1(z^1), x^2(z^2)) \in \sigma \\ 0 & \text{se } (x^1(z^1), x^2(z^2)) \notin \sigma \end{cases}$$

$$\left| \frac{\partial(x^1, x^2)}{\partial(z^1, z^2)} \right| = \begin{vmatrix} b^1 - a^1 & 0 \\ 0 & b^2 - a^2 \end{vmatrix} = \prod_{j=1}^2 (b^j - a^j) = D$$

e podemos tomar a aproximação

$$J \approx \frac{D}{n} \sum_{i=1}^n F_{i,i}$$

A forma geral de uma equação a derivadas parciais linear em duas dimensões é

$$A \frac{\partial^2 \theta}{\partial x^2} + B \frac{\partial^2 \theta}{\partial x \partial y} + C \frac{\partial^2 \theta}{\partial y^2} + D \frac{\partial \theta}{\partial x} + E \frac{\partial \theta}{\partial y} + F \theta = f$$

que conforme o sinal de seu determinante

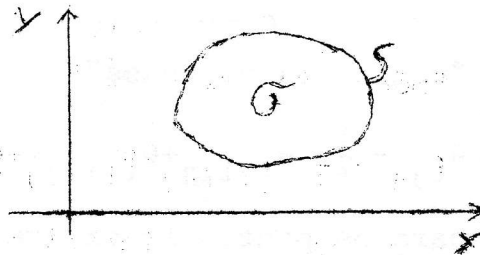
$$\Delta = B^2 - 4AC$$

é dita eliptica ( $\Delta < 0$ ), parabolica ( $\Delta = 0$ ), hiperbolica ( $\Delta > 0$ ) ou mixta se  $\Delta(x,y)$  mudar de sinal na região de definição da equação.

Estudemos a equação eliptica de Laplace (equação do calor)

$$\begin{cases} \nabla^2 \theta = 0 & \text{em } \sigma \\ \theta(P) = \phi(P) & \text{para } P \in S \end{cases}$$

a condição de contorno é conhecida como condição de Dirichlet.



Uma função harmonica (para a qual  $\nabla^2 \theta = 0$ ) satisfazendo o problema de Dirichlet numa região compacta existe e é única dependendo continuamente da condição de contorno.

Verifica-se além disto que

$$\min_{P \in S} \theta(P) \leq \theta(x, y) \leq \max_{(x, y) \in \sigma} \theta(P)$$

Recordados estes poucos fatos estudemos algum método numérico de solução.

Instruamos primeiramente uma malha

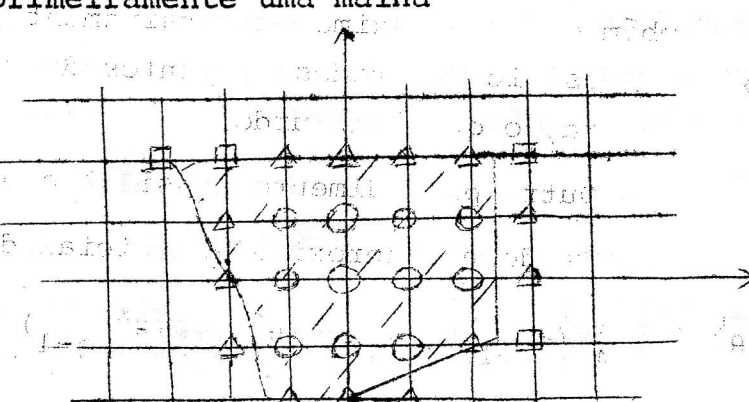
$$M_{ij} = (x_i, y_j)$$

$$x_i = x_0 + ih$$

$$y_j = y_0 + jh$$

$$\text{onde } M_{ij} \in \sigma$$

$$\text{ou } \min_{P \in S} d(M_{ij}, P) < h$$



Um ponto  $M_{ij}$  da malha dar-se-á

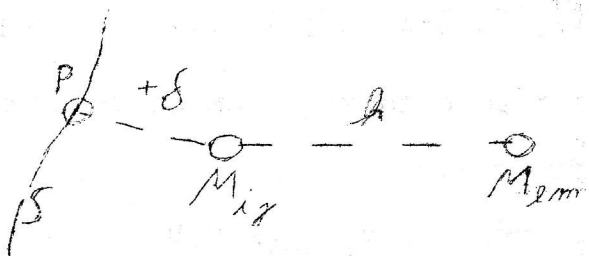
- Interior (0) se ele e seus quatro vizinhos pertencerem a malha
- Se fronteira de 1ª espécie (Δ) se ao menor um de seus vizinhos for interior
- De fronteira de 2ª espécie (□) se não for interior nem de 1ª espécie.

As equações acima tem por ponto fixo a aproximação do primeiro método e para ele convergem.

Uma sofisticação deste método é o algoritmo de Liebmam no qual a relação de recorrência para os pontos de 1<sup>a</sup> espécie é substituída por

$$\theta_{ij}^{k+1} = \phi(P) + (\theta_{\ell m}^k - \phi(P)) \delta / (k+\delta)$$

onde  $\delta$  é a distância  $d(M_{ij}, P)$  tomada com sinal positivo se  $M_{ij} \in \sigma$  e com sinal negativo se  $M_{ij} \notin \sigma$ , e  $M_{\ell m}$  é um (0) ponto interior vizinho de  $M_{ij}$ .



Apresentemos agora um método estocástico.

Denomina-se caminho com fronteira aderente a uma sequência  $M_{i_p, j_p}$ ,  $0 \leq p \leq n$ , tal que

1)  $M_{i_p, j_p}$  é ponto interior para  $p < n$

2)  $M_{i_n, j_n}$  é ponto de fronteira de 1<sup>a</sup> espécie

3)  $M_{i_{p+1}, j_{p+1}}$  é vizinho de  $M_{i_p, j_p}$

Ao ponto  $M_{i_0, j_0}$  denomina-se início do caminho e a  $M_{i_n, j_n}$  seu término.

O caminho dir-se-á aleatório se dado de a  $p$ -ésima posição do caminho e  $M_{i_p, j_p}$  a  $(p+1)$ -ésima posição por escolhida aleatoriamente, com probabilidade  $1/4$  para cada vizinho.

Seja  $P(i, j, m, n)$  a probabilidade de que um caminho com início em  $M_{i, j}$  termine em  $M_{m, n}$ . Nota-se que:

a)  $\sum_{(m, n)} P(i, j, m, n) = 1$

b)  $P(m', n', m, n) = \delta_m^{m'} \delta_n^{n'}$

do círculo unitário e com centro no ponto de fronteira da

Dada uma função  $\phi_{m,n}$ , definida por pontos de fronteira, definimos  $VE_{ij}$ , o valor esperado de  $\phi$  no ponto terminal de um caminho aleatório com início em  $M_{ij}$  à função

$$VE_{ij} = \sum_{(m,n)} P(i,j,m,n) \phi_{m,n}$$

vê-se que

$$VE_{ij} = \frac{1}{4} (VE_{i-1,j} + VE_{i+1,j} + VE_{i,j-1} + VE_{i,j+1}), \text{ se } M_{ij} \text{ é ponto interior}$$

$M_{ij}$  é ponto interior

$$VE_{ij} = \phi_{ij}, \text{ se } M_{ij}$$

$M_{ij}$  é ponto de fronteira.

Tomando  $\theta_{ij}$  como definido no primeiro exposto vemos a perfeita analogia da dois problemas:

Determinar  $\theta_{ij}$ , o valor da função harmônica solução do problema de Dirichlet, e  $VE_{ij}$  o valor esperado de  $\phi$  no ponto terminal.

Assim concluimos que a média dos valores de  $\phi$  nos pontos terminais de uma série de caminhos aleatórios com início em  $M_{ij}$  converge para  $\theta_{ij}$ .

## XXII - EQUAÇÕES PARABÓLICAS E HIPERBÓLICAS

A semelhança do que fizemos com as equações elípticas procuremos métodos numéricos de solução de equação parabólica e hiperbólica.

Como exemplo de equação parabólica tomemos a equação de difusões

$$\frac{\partial \theta}{\partial t} = \frac{\partial^2 \theta}{\partial x^2}, \quad (x, t) \in [0, L] \times [0, \infty[$$

sujeita a condição de contorno

$$\theta(x, 0) = f(x), \quad \theta(0, t) = \phi(t), \quad \theta(L, t) = \psi(x)$$

Com o intuito de encontrar uma equação de diferenças, que aproxime a equação diferencial, tomamos uma malha

$$M_{ij} = (x_i, t_j), \quad x_i = ih, \quad h = L/N$$

$$t_i = jh'$$

e as aproximações

$$\left. \frac{\partial \theta}{\partial t} \right|_{iju} = (\theta_{i,j+1} - \theta_{ij})/h'$$

$$\left. \frac{\partial^2 \theta}{\partial x^2} \right|_{ij} = (\theta_{i+1,j} - 2\theta_{ij} + \theta_{i-1,j})/h^2$$

$$\text{onde } \theta_{ij} = \theta(M_{ij}) = \theta(x_i, t_j)$$

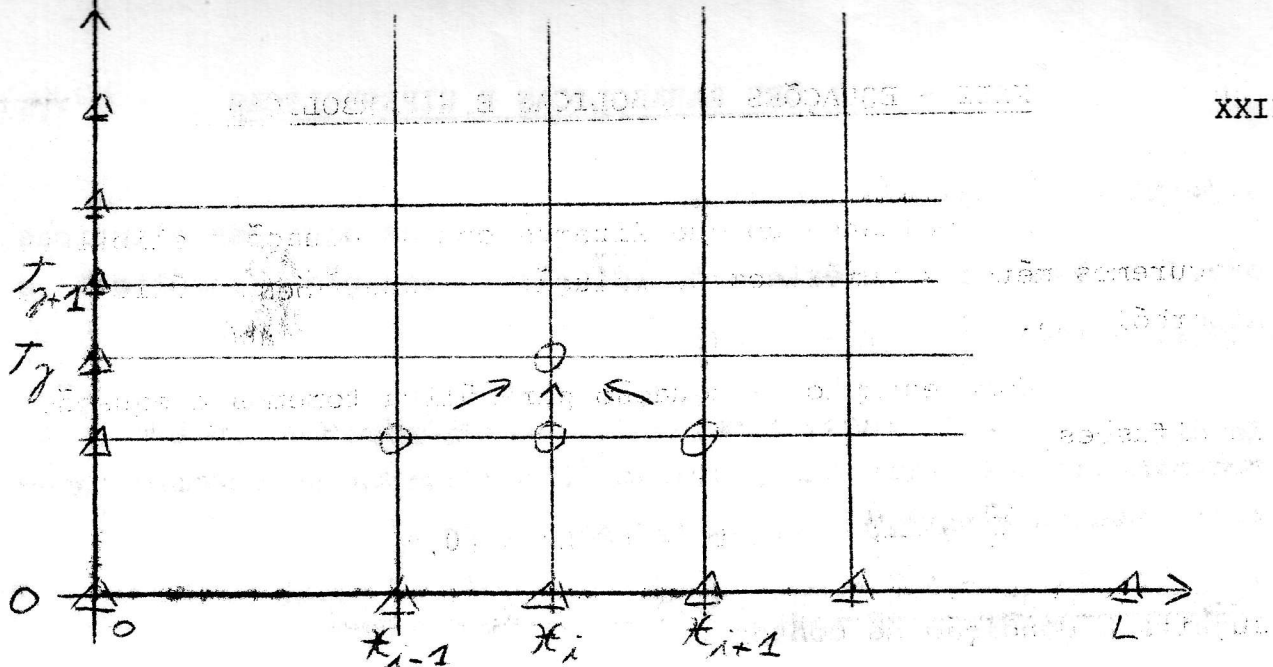
teremos a equação

$$\frac{\theta_{i,j+1} - \theta_{ij}}{h'} = \frac{\theta_{i+1,j} - 2\theta_{ij} + \theta_{i-1,j}}{h^2}$$

ou, tomando  $\alpha = h/h'^2$

$$\theta_{i,j+1} = \alpha \theta_{i+1,j} + (1-2\alpha) \theta_{ij} + \alpha \theta_{i-1,j}$$

equação esta que nos permite calcular  $\theta_{ij}$  para todos os pontos interiores da malha



Analisemos agora quão bem a equação de diferenças aproxima a equação diferencial sejam os operadores

$$L[\theta] = \frac{\partial^2 \theta}{\partial x^2} - \frac{\partial \theta}{\partial t}, \quad \text{e}$$

$$L_h[\theta] = \frac{1}{h^2} \{ \theta_{i-1,j} - \alpha \theta_{ij} + \theta_{i+1,j} + \frac{1}{\alpha} (\theta_{i,j+1} - \theta_{ij}) \}$$

$$R_h[\theta] = L_h[\theta] - L[\theta]$$

Usando a série de Taylor de  $\theta(x,y)$  em torno do ponto  $M_{ij}$ , até 5ª ordem, temos

$$\begin{aligned} L_h[\theta] &= \left\{ \left. \left( \frac{\partial^2 \theta}{\partial x^2} \right) \right|_{ij} - \left. \left( \frac{\partial \theta}{\partial t} \right) \right|_{ij} + h^2 \left. \left( \frac{1}{12} \frac{\partial^4 \theta}{\partial x^4} \right) \right|_{ij} + \right. \\ &\quad \left. \left. + \frac{\alpha}{2} \left. \frac{\partial^2 \theta}{\partial t^2} \right|_{ij} + h^4 \left. \left( \frac{1}{360} \frac{\partial^6 \theta}{\partial x^6} \right) \right|_{ij} - \frac{\alpha^2}{6} \left. \frac{\partial^3 \theta}{\partial t^3} \right|_{ij} \right) + O(h^6) \right\}, \end{aligned}$$

$$L[\theta] = \frac{\partial^2 \theta}{\partial x^2} - \frac{\partial \theta}{\partial t} = 0, \quad \text{bem como } L^2[\theta] = \frac{\partial^2 \theta}{\partial x^4} - \frac{\partial^2 \theta}{\partial t^2} = 0$$

Se escolhermos  $\alpha = 1/6$  teremos

$$R_h[\theta]_{ij} = O(h^4)$$

e a equação de diferenças toma a forma

$$\theta_{i,j+1} = \frac{1}{6} (\theta_{i-1,j} + 4 \theta_{ij} + \theta_{i+1,j})$$

Como exemplo de equação hiperbólica estudemos a equação de onda

$$\frac{\partial^2 \lambda}{\partial t^2} = \frac{\partial^2 \lambda}{\partial x^2}, \quad (x,t) \in [0,L] \times [0,\infty[$$

sujeita a condição de contorno

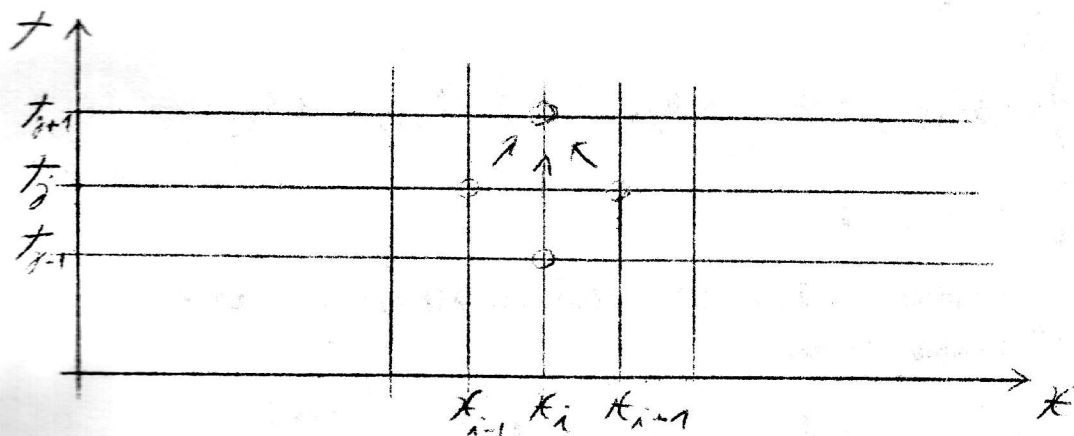
$$\begin{aligned}\lambda(x, 0) &= F(x) & \lambda(0, t) &= \phi(t) \\ \lambda'(x, 0) &= f(x) & \lambda(L, t) &= \psi(t)\end{aligned}$$

Considerando a malha  $M_{ij}$  de espaçamento  $h = L/n$  e a aproximação das derivadas parciais já utilizadas no exemplo anterior resulta a equação de diferenças

$$\frac{\lambda_{i,j-1} - \lambda_{i,j}}{h^2} + \lambda_{i,j+1} = \frac{\lambda_{i-1,j} - \lambda_{i,j}}{h^2} + \lambda_{i+1,j}$$

ou

$$\lambda_{i,j+1} = \lambda_{i+1,j} + \lambda_{i-1,j} - \lambda_{i,j-1}$$



Equação que pode ser utilizada, juntamente com as condições de contorno que nos fornecem  $\lambda_{0,j}$ ,  $\lambda_{n,j}$  e  $\lambda_{i,0}$ , para calcular  $\lambda$  nos pontos interiores da malha com escavação dos pontos  $M_{i,1}$  que devem ser previamente calculados

Para tanto tomaremos a aproximação

$$\begin{aligned}\lambda_{i,j} &\sim \lambda_{i,0} + h \frac{\partial \lambda}{\partial t} \Big|_{i,0} + \frac{h^2}{2} \frac{\partial^2 \lambda}{\partial t^2} \Big|_{i,0} \\ &= F_i + h f_i + \frac{h^2}{2} \frac{\partial^2 \lambda}{\partial x^2} \Big|_{i,0} \\ &= F_i + h f_i + \frac{h^2}{2} F''_i \\ &\sim F_i + h f_i + \frac{h^2}{2} \frac{F_{i-1} - 2F_i + F_{i+1}}{h^2} \\ &= \frac{1}{2} (F_{i-1} + F_{i+1}) + h f_i\end{aligned}$$